

**PREDIKSI BEBAN PANAS DAN BEBAN DINGIN BANGUNAN  
MENGGUNAKAN METODE *SUPPORT VECTOR REGRESSION***

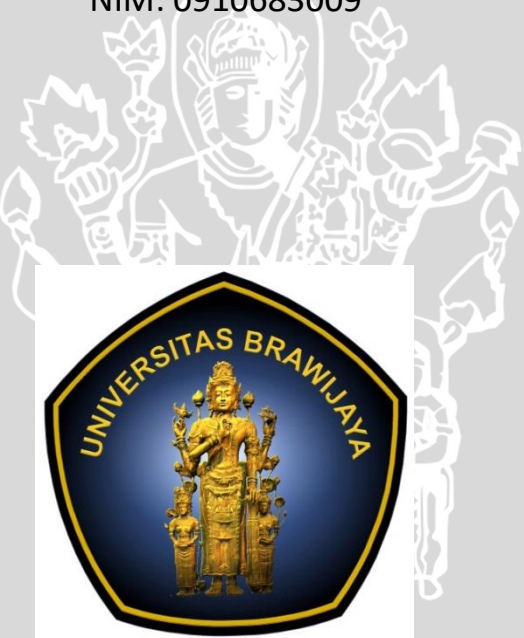
**SKRIPSI**

Untuk memenuhi sebagian persyaratan  
memperoleh gelar Sarjana Komputer

Disusun oleh:

Albertus Dimas Wardoyo

NIM: 0910683009



PROGRAM STUDI TEKNIK INFORMATIKA  
JURUSAN TEKNIK INFORMATIKA  
FAKULTAS ILMU KOMPUTER  
UNIVERSITAS BRAWIJAYA  
MALANG  
2016

## PENGESAHAN

PREDIKSI BEBAN PANAS DAN BEBAN DINGIN BANGUNAN MENGGUNAKAN  
METODE SUPPORT VECTOR REGRESSION

### SKRIPSI

Diajukan untuk memenuhi sebagian persyaratan  
memperoleh gelar Sarjana Komputer

Disusun Oleh :

Albertus Dimas Wardoyo

NIM: 0910683009

Skripsi ini telah diuji dan dinyatakan lulus pada  
26 Agustus 2016

Telah diperiksa dan disetujui oleh:

Dosen Pembimbing I

Dosen Pembimbing II

Imam Cholissodin, S.Si., M.Kom  
NIK. 201201 850719 1 001

Dian Eka Ratnawati, S.Si., M.Kom  
NIP. 19730619 200212 2 001

Mengetahui  
Ketua Jurusan Teknik Informatika

Tri Astoto Kurniawan, S.T.,M.T.,Ph.D  
NIP. 19710518 200312 1 001

## PERNYATAAN ORISINALITAS

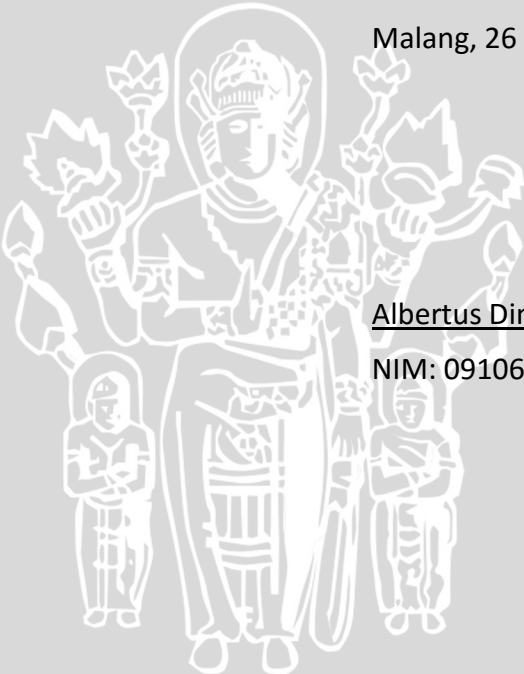
Saya menyatakan dengan sebenar-benarnya bahwa sepanjang pengetahuan saya, di dalam naskah skripsi ini tidak terdapat karya ilmiah yang pernah diajukan oleh orang lain untuk memperoleh gelar akademik di suatu perguruan tinggi, dan tidak terdapat karya atau pendapat yang pernah ditulis atau diterbitkan oleh orang lain, kecuali yang secara tertulis disitasi dalam naskah ini dan disebutkan dalam daftar pustaka.

Apabila ternyata didalam naskah skripsi ini dapat dibuktikan terdapat unsur-unsur plagiasi, saya bersedia skripsi ini digugurkan dan gelar akademik yang telah saya peroleh (sarjana) dibatalkan, serta diproses sesuai dengan peraturan perundang-undangan yang berlaku (UU No. 20 Tahun 2003, Pasal 25 ayat 2 dan Pasal 70).

Malang, 26 Agustus 2016

Albertus Dimas Wardoyo

NIM: 0910683009



## KATA PENGANTAR

Puji syukur penulis panjatkan kehadirat Tuhan Yang Maha Esa karena hanya dengan berkat-Nya, penulis dapat menyelesaikan proposal skripsi dengan judul "*Prediksi Beban Pemanasan dan Beban Pendinginan Bangunan menggunakan metode SVR*". Penulisan skripsi ini disusun untuk memenuhi syarat menjadi Sarjana Komputer.

Dalam pelaksanaan dan penulisan skripsi ini penulis mendapatkan banyak bantuan dari berbagai pihak baik secara moril dan materiil. Dalam kesempatan ini penulis ingin mengucapkan terimakasih sebesar - besarnya kepada:

1. Bapak Imam Cholissodin, S.Si., M.Kom, selaku pembimbing utama dan Ibu Dian Eka Ratnawati, S.Si., M.Kom, selaku pembimbing pendamping yang telah meluangkan waktu memberikan pengarahan dan bimbingan kepada penulis.
2. Bapak Arief Andy Soebroto, S.T, M.Kom, selaku dosen penasihat akademik penulis.
3. Bapak Ir. Heru Nurwarsito, M.Kom, selaku Wakil Ketua I Bidang Akademik Fakultas Ilmu Komputer.
4. Bapak Issa Arwani, S.Kom, M.Sc, selaku Sekretaris Jurusan periode 2010-2015 yang telah memberikan contoh kepada penulis untuk selalu siap dan semangat dalam melayani.
5. Bapak Agus Wahyu Widodo, S.T, M.Cs, selaku Ketua Program Studi Teknik Informatika yang selalu memberikan dukungan kepada penulis baik berupa doa maupun hal yang bersifat administratif.
6. Staff Pendidikan BKPK Fakultas Ilmu Komputer Bapak Prasetyo Iskandar, S.T dan Ibu Wiwin Lukitohadi, S.H, S.Psi, CHRM. yang selalu memberikan dorongan semangat kepada penulis melalui pertemuan rutin tiap minggu.
7. Segenap dosen Fakultas Ilmu Komputer Universitas Brawijaya atas segenap ilmu pengetahuan dan perhatian yang diberikan.
8. Segenap staff dan pegawai Program Teknologi Informasi dan Ilmu Komputer Universitas Brawijaya atas segala bantuan yang bersifat administratif.
9. Keluarga terkasih Ignatius Daman Wardoyo yang telah menjadi panutan dan inspirasi semangat bagi penulis, Petra Sri Rahayu yang selalu memberikan dukungan dan doa tiada henti, Grace Dinda Sri Wardhani yang selalu memberikan semangat bagi penulis.
10. Bapak I Made Sutartha dan Ibu Yuni Yuhniarti yang telah memberikan pandangan dunia kerja dan telah memberikan kesempatan bagi penulis untuk tinggal di Rumah Tirtasani selama masa perkuliahan penulis.
11. Seluruh teman-teman TPL-B dan TPL Legend UB '09 terkasih atas dukungan dan kebersamaannya dari awal perkuliahan sampai akhir

diantaranya Anom Harya Wicaksana yang merupakan ketua angkatan, I Putu Arie Bayu Antara, Aggy Kubelaborbir, Andreas Bagus, Zahrul Ahmad Aris, Heri Kurniawan, M. Rizki Gus Sofwan, Rizki Kurnia Aziz M., Antaranga Bhawika Manggala, Ilham Ubaidillah, Raviqul Haidir, Tony Dwiatmoko, Septa Hendra P.U., Albiyan Dwi B., dan semua teman-teman TPL Legend 09 yang tidak bisa penulis sebutkan satu-persatu.

12. Teman-teman Fakultas Ilmu Komputer angkatan 2009 terkasih yang selalu memberikan semangat, dorongan, dan bantuan pikiran.
13. Teman-teman, saudara, serta kakak tingkat yang tergabung dalam KMK (Keluarga Mahasiswa Katholik) Fakultas Teknik Universitas Brawijaya yang telah memberikan kesempatan bagi penulis untuk menimba pengalaman selama masa perkuliahan.
14. Serta semua pihak yang telah membantu dan memberikan pengalaman berharga bagi penulis selama penulis menjalani masa perkuliahan.

Akhirnya atas segala bantuan semua pihak semoga mendapat balasan yang setimpal dari Tuhan YME. Penulis sadar bahwa skripsi ini masih jauh dari kesempurnaan, untuk itu dengan segala kerendahan hati penulis mengharapkan saran dan kritik yang membangun demi kesempurnaan penulisan selanjutnya.

Malang, 26 Agustus 2016

Penulis

wardoyo.bert@gmail.com

## ABSTRAK

Saat ini energi tidak hanya dikonsumsi oleh makhluk hidup, tetapi juga “dikonsumsi” oleh seluruh elemen di dunia ini. Beberapa elemen trinitas konsumen energi seperti sarana transportasi, pusat industri, maupun berbagai bentuk bangunan juga tidak luput dari kegiatan untuk mengkonsumsi energi. Dengan dilakukannya peramalan beban panas dan dingin bangunan, akan sangat membantu para insinyur dalam membuat bangunan yang ramah lingkungan. Banyak metode peramalan yang telah digunakan untuk memprediksi data yang bersifat non linier seperti *Support Vector Regression* (SVR) yang terbukti dapat memberikan hasil peramalan yang baik pada beberapa kasus peramalan, seperti pada peramalan kurs nilai tukar rupiah terhadap dollar Amerika. Penelitian mengenai penggunaan metode SVR untuk peramalan pernah digunakan pada peramalan tinggi muka air dan terbukti metode tersebut menghasilkan nilai *error* yang kecil. Sesuai dengan hasil pengujian penelitian ini yang dilakukan menggunakan data desain bangunan hasil program Ecotect dengan menggunakan metode SVR menghasilkan MAPE yang bernilai 0,34492.

**Kata Kunci :** Beban panas dan dingin bangunan, SVR, MAPE.

## ABSTRACT

*Nowadays, energy isn't only consumed by living beings, but also "consumed" by all elements in this world. Some elements of the trinity of energy consumers such as transport, industrial centers, as well as various forms of buildings are also not spared from the activities to consume energy. By doing heating and cooling load forecasting will greatly assist engineers in creating eco-friendly building. Many forecasting methods have been used to predict the data that is non-linear as Support Vector Regression (SVR) which is proven to provide better forecasting results in some forecasting cases, as in forecasting the exchange rate of the rupiah against the US dollar. Previous works about using SVR methods in forecasting water level proved that SVR method produce a small error value. The test results in this study using building design data obtained from Ecotect using SVR methods can generate MAPE 0,34492.*

**Keywords :** Heating and Cooling Loads, SVR, MAPE



## DAFTAR ISI

|  |       |
|--|-------|
| PENGESAHAN .....   | .ii   |
| PERNYATAAN ORISINALITAS .....                            | .iii  |
| KATA PENGANTAR.....                                      | .iv   |
| ABSTRAK.....   | .vi   |
| ABSTRACT.....  | .vii  |
| DAFTAR ISI .....   | .viii |
| DAFTAR TABEL.....  | .x    |
| DAFTAR GAMBAR.....                                       | .xii  |
| DAFTAR KODE PROGRAM .....                                | .xiii |
| DAFTAR LAMPIRAN .....                                    | .xiv  |
| BAB 1 PENDAHULUAN.....                                   | 1     |
| 1.1 Latar belakang.....                                  | 1     |
| 1.2 Rumusan masalah.....                                 | 2     |
| 1.3 Tujuan .....   | 2     |
| 1.4 Manfaat.....   | 2     |
| 1.5 Batasan masalah.....                                 | 3     |
| 1.6 Sistematika pembahasan.....                          | 3     |
| BAB 2 LANDASAN KEPUSTAKAAN .....                         | 5     |
| 2.1 Kajian Pustaka .....                                 | 5     |
| 2.2 Beban Pemanasan dan Beban Pendinginan Bangunan ..... | 7     |
| 2.2.1 Pengertian .....                                   | 7     |
| 2.2.2 Contoh Perhitungan .....                           | 8     |
| 2.3 Normalisasi dan Denormalisasi.....                   | 18    |
| 2.4 <i>Support Vector Regression (SVR)</i> .....         | 18    |
| 2.5 Kriteria Evaluasi .....                              | 20    |
| BAB 3 METODOLOGI PENELITIAN .....                        | 22    |
| 3.1 Studi Literatur .....                                | 23    |
| 3.2 Pengambilan <i>dataset</i> .....                     | 23    |
| 3.3 Perancangan sistem .....                             | 23    |
| 3.4 Implementasi .....                                   | 23    |



|   |    |
|---|----|
| 3.5 Pengujian Sistem.....   | 23 |
| 3.6 Pengambilan Kesimpulan.....   | 24 |
| BAB 4 PERANCANGAN.....  | 25 |
| 4.1 Formulasi Permasalahan.....   | 25 |
| 4.2 Perancangan Antarmuka Pengguna .....  | 25 |
| 4.3 Algoritma <i>Support Vector Regression</i> .....                                    | 27 |
| 4.4 Perancangan Skenario Pengujian .....  | 37 |
| 4.4.1 Pengujian jumlah iterasi pelatihan SVR .....                                      | 37 |
| 4.4.2 Pengujian nilai batas parameter <i>cLR</i> SVR .....                              | 38 |
| 4.4.3 Pengujian nilai batas parameter $\lambda$ ( <i>lambda</i> ) .....                 | 38 |
| 4.4.4 Pengujian nilai batas parameter <i>C</i> .....                                    | 39 |
| BAB 5 IMPLEMENTASI .....  | 40 |
| 5.1 Implementasi <i>source code</i> .....   | 40 |
| 5.1.1 Proses Normalisasi Data.....  | 40 |
| 5.1.2 Proses Perhitungan <i>Kernel RBF</i> .....  | 41 |
| 5.1.3 Proses Perhitungan Matriks <i>Hessian</i> .....                                   | 41 |
| 5.1.4 Proses <i>Sequential Learning</i> .....   | 42 |
| 5.1.5 Proses Perhitungan Fungsi Peramalan dan <i>Error Rate</i> .....                   | 43 |
| 5.2 Implementasi Antarmuka Pengguna .....   | 44 |
| BAB 6 PENGUJIAN DAN ANALISIS.....   | 46 |
| 6.1 Hasil dan Analisis Pengujian Jumlah Iterasi Pelatihan .....                         | 46 |
| 6.2 Hasil dan Analisis Pengujian Nilai Batas Parameter $\lambda$ ( <i>lambda</i> )..... | 47 |
| 6.3 Hasil dan Analisis Pengujian Nilai Batas Parameter <i>cLR</i> .....                 | 48 |
| 6.4 Hasil dan Analisis Pengujian Nilai Batas Parameter <i>C</i> .....                   | 49 |
| BAB 7 PENUTUP .....   | 51 |
| 7.1 Kesimpulan.....   | 51 |
| 7.2 Saran .....   | 51 |
| DAFTAR PUSTAKA.....   | 52 |
| LAMPIRAN A DATA BANGUNAN .....  | 54 |



## DAFTAR TABEL

|   |    |
|---|----|
| Tabel 2.1 Perbandingan Metode Penelitian .....  | 5  |
| Tabel 2.2 Nilai <i>dry-bulb</i> dan <i>wet-bulb temperature</i> .....   | 10 |
| Tabel 2.3 Nilai CLTD Tembok.....  | 11 |
| Tabel 2.4 Nilai CLTD <i>Sunlit Walls</i> ( $40^0$ Lintang Utara, 21 Juli) .....                               | 12 |
| Tabel 2.5 Nilai CLTD <i>Flat Roofs</i> ( $40^0$ Lintang Utara, 21 Juli).....                                  | 12 |
| Tabel 2.6 Nilai CLTD untuk Jendela .....  | 13 |
| Tabel 2.7 Nilai SCL untuk jendela yang terkena sinar matahari maksimal ( $40^0$ Lintang Utara, 21 Juli) ..... | 14 |
| Tabel 2.8 Level Aktifitas .....   | 15 |
| Tabel 2.9 Nilai CLF manusia.....  | 15 |
| Tabel 2.10 Contoh alat rumah tangga yang dapat memberikan panas.....  | 16 |
| Tabel 2.11 Estimasi Hembusan Angin, Pergantian Udara per jam .....  | 17 |
| Tabel 2.12 Ringkasan hasil perhitungan .....  | 18 |
| Tabel 4.1 Dataset .....   | 25 |
| Tabel 4.2 Inisialisasi Parameter SVR .....  | 28 |
| Tabel 4.3 Data Latih .....  | 28 |
| Tabel 4.4 Data Uji .....  | 28 |
| Tabel 4.5 Hasil Normalisasi Data Latih .....  | 29 |
| Tabel 4.6 Hasil Normalisasi Data Uji .....  | 29 |
| Tabel 4.7 Matriks <i>Kernel</i> Data Latih .....  | 31 |
| Tabel 4.8 Matriks <i>Kernel</i> Data Uji.....   | 32 |
| Tabel 4.9 Matriks <i>Hessian</i> Data Latih .....   | 32 |
| Tabel 4.10 Matriks <i>Hessian</i> Data Uji .....  | 32 |
| Tabel 4.11 Inisialisasi Nilai <i>Lagrange Multiplier</i> .....  | 33 |
| Tabel 4.12 Hasil Iterasi ke-1 .....   | 35 |
| Tabel 4.13 Hasil Iterasi ke-10 .....  | 35 |
| Tabel 4.14 Hasil Denormalisasi Nilai Peramalan.....   | 37 |
| Tabel 4.15 Rancangan pengujian jumlah iterasi pelatihan SVR.....  | 38 |
| Tabel 4.16 Rancangan pengujian nilai batas parameter <i>cLR</i> SVR .....                                     | 38 |
| Tabel 4.17 Rancangan pengujian nilai batas parameter $\lambda$ ( <i>lambda</i> ) .....                        | 38 |

|   |    |
|---|----|
| Tabel 4.18 Rancangan pengujian nilai batas parameter $C$ .....                    | 39 |
| Tabel 6.1 Hasil pengujian jumlah iterasi pelatihan .....                          | 46 |
| Tabel 6.2 Hasil pengujian batas nilai parameter $\lambda$ ( <i>lambda</i> ) ..... | 47 |
| Tabel 6.3 Hasil pengujian nilai parameter $cLR$ .....                             | 49 |
| Tabel 6.4 Hasil pengujian nilai parameter C .....                                 | 50 |



## DAFTAR GAMBAR

|  |    |
|--|----|
| Gambar 2.1 Denah Ruangan 101 .....   | 9  |
| Gambar 3.1. Diagram Alir Metode Penelitian.....                                    | 22 |
| Gambar 4.1 Rancangan Antarmuka Data Masukan.....                                   | 26 |
| Gambar 4.2 Rancangan Antarmuka Data Keluaran .....                                 | 26 |
| Gambar 4.3 Diagram Alir Algoritma <i>Support Vector Regression</i> .....           | 28 |
| Gambar 4.4 Diagram Alir Proses Perhitungan Normalisasi .....                       | 29 |
| Gambar 4.5 Diagram Alir Perhitungan <i>Kernel</i> dan Matriks <i>Hessian</i> ..... | 31 |
| Gambar 4.6 Diagram Alir Perhitungan Sequential Learning .....                      | 34 |
| Gambar 4.7 Diagram Alir Perhitungan Nilai Peramalan .....                          | 35 |
| Gambar 4.8 Diagram Alir Denormalisasi Nilai Peramalan .....                        | 36 |
| Gambar 5.1 Antarmuka Utama <i>Input</i> Data dan Parameter.....                    | 45 |
| Gambar 5.2 Tampilan Hasil Perhitungan dan <i>Error Rate</i> .....                  | 45 |
| Gambar 6.1 Grafik Rerata <i>Error Rate</i> Pengujian Jumlah Iterasi.....           | 47 |
| Gambar 6.2 Grafik Rerata <i>Error Rate</i> Pengujian Nilai $\lambda$ .....         | 48 |
| Gambar 6.3 Grafik Rerata <i>Error Rate</i> Pengujian Nilai $cLR$ .....             | 49 |
| Gambar 6.4 Grafik Rerata <i>Error Rate</i> Pengujian Nilai $C$ .....               | 50 |



## DAFTAR KODE PROGRAM

|   |    |
|---|----|
| Kode Program 5.1 Normalisasi Data .....                   | 40 |
| Kode Program 5.2 Perhitungan <i>kernel RBF</i> .....      | 41 |
| Kode Program 5.3 Perhitungan matriks <i>Hessian</i> ..... | 42 |
| Kode Program 5.4 <i>Sequential Learning</i> .....         | 43 |
| Kode Program 5.5 Perhitungan <i>Error Rate</i> .....      | 44 |



## DAFTAR LAMPIRAN

Lampiran 1 Data Bangunan ..... 54



## BAB 1 PENDAHULUAN

### 1.1 Latar belakang

Energi tidak hanya dikonsumsi oleh makhluk hidup, tetapi juga “dikonsumsi” oleh seluruh elemen di dunia ini. Beberapa elemen seperti sarana transportasi, pusat industri, maupun berbagai bentuk bangunan juga tidak luput dari kegiatan untuk mengkonsumsi energi. Selain dapat dikatakan sebagai trinitas dalam sektor perekonomian suatu Negara, mereka juga termasuk dalam trinitas konsumen energi yang tinggi yang tentunya tidak menutup kemungkinan untuk terus dilakukannya konservasi energi (Al-Homoud, 2000). Dikarenakan bangunan (gedung, perumahan, pabrik, dst.) adalah konsumen utama dan terbesar dari ketersediaan energi global, maka perlu adanya suatu rancangan untuk dapat membuat bangunan yang hemat energi.

Dalam penelitian ini penulis menentukan objek penelitian pada satuan hitungan yakni beban pemanasan (HL/ *Heating Load*) dan beban pendinginan (CL/ *Cooling Load*), yang merupakan ukuran energi yang harus dibubuhkan atau ditiadakan dengan sebuah sistem untuk memberikan kenyamanan dalam sebuah ruang (Chou & Bui, 2014). Untuk memperkirakan kapasitas pemanasan dan pendinginan yang diperlukan, para desainer bangunan (termasuk arsitek) membutuhkan informasi berupa karakteristik bangunan dan ruangan yang dikondisikan (tingkat aktivitas dan hunian), iklim sekitar, dan kegunaan bangunan (dalam kasus ini, bangunan tempat tinggal memiliki persyaratan yang berbeda bila dibandingkan dengan bangunan industri).

Menurut penelitian yang dilakukan oleh Athanasios Tsanas dan Angeliki Xifara perhitungan beban pemanasan (HL) dan beban pendinginan (CL) diperlukan untuk menetapkan detail spesifikasi alat pemanas dan pendingin yang dibutuhkan untuk mempertahankan kenyamanan kondisi udara dalam ruangan. Dalam pelaksanaannya terdapat beberapa alat simulasi energi bangunan yang dipakai dalam memperkirakan konsumsi energi bangunan. Karena sangat boros waktu dan membutuhkan keahlian khusus dalam menggunakannya, banyak pakar mengandalkan beberapa teknik *machine learning* (pembelajaran mesin) seperti *polynomial regression*, *support vector machine*, *artificial neural network*, dan *decision trees* (Tsanas & Xifara, 2012).

Metode *Support Vector Machine* (SVM) adalah metode kecerdasan buatan yang dikenalkan oleh Vapnik pada tahun 1960. Keunggulan dari metode ini adalah mampu mengoptimasi sistem pengenalan pola dengan keahlian generalisasi yang baik. Selain itu, SVM juga berguna untuk meramalkan suatu nilai tertentu (Santosa, 2007). Metode ini juga dapat digunakan untuk menyelesaikan masalah regresi dan data nonlinier dengan jumlah data masukan yang besar. Metode tersebut adalah *Support Vector Regression* (SVR) dengan hasil keluaran berupa data berkesinambungan.

Dalam penelitian sebelumnya yang berhasil menerapkan metode SVR, adalah penelitian yang dilakukan oleh Chou & Bui yang berjudul “*Modeling Heating and Cooling Loads by Artificial Intelligence for Energy-Efficient Building Design*”.



Metode *Ensemble* (SVR + ANN) dan *Support Vector Regression* dapat digunakan dalam memprediksi CL (*Cooling Loads*) dan HL (*Heating Loads*) secara substansial. Penggunaan metode *Ensemble* untuk memprediksi CL menghasilkan nilai MAPE dibawah 4% dan rerata 25,2% lebih baik daripada metode RF (Random Forest). Untuk memprediksi HL, metode SVR meningkatkan nilai RMSE sebanyak 65,9%, MAE 53,8%, dan MAPE sebanyak 48,1% bila dibandingkan dengan metode RF (Chou & Bui, 2014).

Penelitian berikutnya yang juga menggunakan SVR tetapi dalam kasus yang berbeda, yakni tentang memprediksi kurs nilai tukar mata uang Rupiah terhadap Dollar Amerika dengan jumlah data *training* 344 data menghasilkan nilai akurasi 100% baik menggunakan *kernel* linear dan *kernel* polynomial dan nilai MAPE sebesar 0.3757% pada *kernel* linier dan 0.4477% pada *kernel* polynomial. Ketika diuji dengan 147 data *testing* menghasilkan nilai akurasi sebesar 99,99% bagi kedua jenis *kernel* yang digunakan dan nilai MAPE sebesar 0.6131% pada *kernel* linier dan 0.6135% pada *kernel* polynomial (Amanda, et al., 2014).

Didasari beberapa informasi penelitian terkait SVR, penulis berupaya mengimplementasikan SVR pada sistem peramalan dengan judul “Prediksi Beban Panas dan Beban Dingin Bangunan menggunakan metode *Support Vector Regression*”.

## 1.2 Rumusan masalah

Adapun sekelumit permasalahan yang dapat dirumuskan dari latar belakang sebagai berikut:

1. Bagaimana menerapkan algoritma *Support Vector Regression* (SVR) untuk memprediksi beban panas dan dingin dari beberapa desain bangunan?
2. Berapakah nilai evaluasi hasil implementasi algoritma *Support Vector Regression* (SVR) untuk memprediksi beban panas dan dingin dari beberapa desain bangunan?

## 1.3 Tujuan

Tujuan dari diadakannya penelitian ini adalah sebagai berikut:

1. Menerapkan algoritma *Support Vector Regression* (SVR) untuk memprediksi beban panas dan dingin dari beberapa desain bangunan.
2. Mengetahui nilai evaluasi dari hasil implementasi algoritma *Support Vector Regression* (SVR) untuk memprediksi beban panas dan dingin dari beberapa desain bangunan.

## 1.4 Manfaat

Adapun manfaat baik yang diharapkan dari penulisan skripsi ini antara lain sebagai berikut:

1. Mendapatkan wawasan tentang penerapan metode *Support Vector Regression* dalam memprediksi beban panas dan beban dingin suatu bangunan.
2. Memudahkan para insinyur dalam merancang model bangunan yang ramah lingkungan (rendah penggunaan emisi gas buang).
3. Membantu para insinyur dalam menganalisis beban pemanasan dan beban pendinginan bangunan dengan bantuan kecerdasan buatan.

## 1.5 Batasan masalah

Dalam penelitian ini penulis membatasi ruang lingkup penelitian sebagai berikut:

1. Data yang digunakan merupakan 130 desain bangunan hasil simulasi dari program Ecotect.
2. Detail desain yang digunakan menggunakan referensi penelitian yang dilakukan oleh Tsanas dan Xifara tahun 2012.
3. Volume tiap bangunan sama, yakni  $771,75\text{m}^3$ .
4. Menggunakan metode *Support Vector Regression* (SVR) untuk keseluruhan sistem dan metode *Gaussian RBF* untuk *kernel*.
5. Pengujian hanya berpusat pada pengujian metode, tidak menguji perangkat keras (*hardware*).
6. Nilai evaluasi dihitung menggunakan rumus MAPE (*Mean Absolute Percentage Error*).

## 1.6 Sistematika pembahasan

Pendokumentasian hasil penelitian berupa skripsi ini menganut sistematika penulisan sebagai berikut:

### BAB I PENDAHULUAN

Bab ini memuat latar belakang dibuatnya sistem prediksi beban panas dan dingin bangunan menggunakan metode *support vector regression*, rumusan masalah yang ingin diselesaikan, batasan masalah agar penelitian terfokus pada masalah yang dikemukakan, tujuan penelitian, manfaat baik bagi pihak yang terkait, dan sistematika pembahasan laporan dari hasil penelitian ini.

### BAB II LANDASAN KEPUSTAKAAN

Bab ini menjabarkan tentang kajian pustaka dan dasar teori yang mendasari penulisan sistem prediksi beban panas dan dingin bangunan.

### BAB III METODE PENELITIAN

Bab ini membahas metode yang digunakan dalam implementasi *Support Vector Regression* pada sistem prediksi beban panas dan beban dingin bangunan.

## **BAB IV PERANCANGAN**

Bab ini membahas tentang perancangan sistem prediksi beban panas dan beban dingin bangunan meliputi deskripsi aplikasi, perancangan antarmuka, dan perancangan pengujian.

## **BAB V IMPLEMENTASI**

Bab ini membahas tentang implementasi dari perancangan sistem prediksi beban panas dan beban dingin bangunan. Implementasi yang dimaksud adalah bahasa pemrograman dan algoritma yang digunakan dalam penelitian ini.

## **BAB VI PENGUJIAN dan ANALISIS**

Bab ini berisi proses, hasil pengujian, serta analisis hasil pengujian aplikasi prediksi beban panas dan beban dingin bangunan.

## **BAB VII PENUTUP**

Bab ini berisi kesimpulan yang diperoleh dari pembuatan dan pengujian sistem prediksi beban panas dan dingin bangunan serta saran untuk pengembangan penelitian lebih lanjut.



## BAB 2 LANDASAN KEPUSTAKAAN

Bab ini berisi beberapa kajian pustaka dan dasar teori yang digunakan dalam penelitian. Kajian pustaka berisi tentang beberapa penelitian yang memiliki tema yang mirip dengan penelitian ini. Dasar Teori yang akan dibahas meliputi pengertian dan contoh perhitungan beban pemanasan dan beban pendinginan bangunan, metode SVR (*Support Vector Regression*), Proses normalisasi, dan kriteria evaluasi.

### 2.1 Kajian Pustaka

Kajian pustaka berisi tentang penelitian-penelitian terdahulu yang memiliki kemiripan tema dan/atau metode dengan penelitian yang penulis lakukan. Ringkasan penelitian-penelitian yang dimaksud terangkum dalam Tabel 2.1 berikut ini:

**Tabel 2.1 Perbandingan Metode Penelitian**

| No | Judul   | Objek dan Input   | Metode (Proses)  | Hasil  |
|----|---|---|--|--|
| 1  | <i>Accurate quantitative estimation of energy performance of residential buildings using statistical machine learning tools</i> | <b>Objek:</b> Beban pemanasan dan Beban pendinginan bangunan.                   | <i>Random Forest, Iterative Reweighted Least Squares</i>   | metode RF dinilai lebih akurat untuk memprediksi beban pendinginan dan beban pemanasan dibandingkan dengan metode IRLS.              |
| 2  | <i>Modeling heating and cooling loads by artificial intelligence forenergy-efficient building design</i>                        | <b>Objek:</b> Pemakaian energi yang paling efisien berdasarkan desain bangunan. | <i>Artificial Neural Network, Support Vector Regression, Classification and Regression Tree, Chi-squared Automatic Interaction Detector, General Linear Regression, Ensemble (SVR+JST)</i> | Metode ensemble bisa dijadikan standar prediksi untuk beban pendinginan (CL) sedangkan SVR dapat dijadikan standar untuk memprediksi |

| No | Judul  | Objek dan Input   | Metode (Proses)   | Hasil   |
|----|--|---|---|---|
|    |  |   |   | beban pemanasan (HL).   |
| 3  | Prediksi tinggi muka air (tma) untuk deteksi dini bencana banjir menggunakan svr-tviwpsos                                  | <b>Objek:</b> Tinggi Muka Air                             | <i>Support Vector Regression, Time Variant Inertia Weight Particle Swarm Optimization</i> | Prediksi yang dilakukan dengan metode SVR-TVIWPSO memberikan hasil yang lebih akurat dibandingkan metode SVR biasa.                                 |
| 4  | Analisis support vector regression (svr) dalam memprediksi kurs rupiah terhadap dollar amerika serikat                     | <b>Objek:</b> Nilai tukar Rupiah terhadap Dollar Amerika. | <i>Support Vector Regression</i>  | Prediksi kurs jual Rupiah menggunakan fungsi <i>kernel linear</i> dan <i>polynomial</i> dalam metode SVR memberikan hasil yang tidak jauh berbeda . |
| 5  | <i>Artificial neural network ensemble modeling with conjunctive data clustering for water quality prediction in rivers</i> | <b>Objek:</b> Kualitas Air Sungai.                        | <i>Artificial Neural Network</i>  | metode <i>conjunctive clustering</i> digunakan untuk membangun pelatihan data dapat menambah kinerja dari JST.                                      |

Sumber : (Tsanas & Xifara, 2012), (Chou & Bui, 2014) , (Soebroto, et al., 2015), (Amanda, et al., 2014), (Kim & Seo, 2015)

Penelitian pertama oleh Tsanas & Xifara bertemakan evaluasi energi bangunan. Menggunakan metode *Iterative Reweighted Least Squares* (IRLS) yang dibandingkan dengan metode *Random Forest* (RF), menghasilkan penilaian bahwa metode RF lebih akurat dibandingkan dengan IRLS (Tsanas & Xifara, 2012).

Terinspirasi dengan penelitian pertama, Chou & Bui melakukan penelitian dengan metode *Artificial Neural Network* (ANN), *Support Vector Regression* (SVR), *Classification and Regression Tree* (CART), *Chi-squared Automatic Interaction Detector* (CHAID), *General Linear Regression* (GLR), dan pendekatan *Ensemble* (gabungan SVR dan ANN). Hasilnya, pendekatan *ensemble* lebih cocok untuk memprediksi CL sedangkan SVR lebih cocok untuk memprediksi HL (Chou & Bui, 2014).

Penelitian ketiga tentang deteksi dini banjir dengan menganalisis data curah hujan dan serta ketinggian muka air pada permukaan sungai kota Surabaya. Metode yang digunakan adalah *Support Vector Regression* (SVR) yang dioptimasi parameteranya dengan metode *Time Variant Inertia Weight Particle Swarm Optimization* (TVIWPSO). Hasil yang didapat SVR yang dioptimalisasi menggunakan TVIWPSO lebih akurat dalam memprediksi bencana banjir dibanding SVR (Soebroto, et al., 2015).

Penelitian keempat tentang peramalan kurs tukar Rupiah terhadap Dollar Amerika. Metode yang digunakan yakni *Support Vector Regression* (SVR). Hasilnya, akurasi yang diberikan terbilang bagus (Amanda, et al., 2014).

Penelitian kelima dilakukan oleh Kim dan Seo tentang prediksi kualitas air sungai. Metode yang digunakan adalah *Artificial Neural Network* (ANN) *ensemble modeling*. Hasil yang diberikan dengan metode ANN *ensemble modeling*, galat dari ketidakseimbangan kumpulan data dapat dikurangi dan kinerja dari ANN dapat ditingkatkan.

## 2.2 Beban Pemanasan dan Beban Pendinginan Bangunan

### 2.2.1 Pengertian

Beban pendinginan merupakan jumlah energi panas yang harus dihilangkan atau dipindahkan dalam satuan waktu tertentu untuk menjaga suhu dalam rentang yang dapat diterima. Terdapat dua parameter yang biasa dikontrol adalah *dry-bulb temperature* dan *relative humidity* (Ridwan, 2010). *Relative humidity* (kelembapan relatif) adalah rasio tekanan parsial uap air dalam campuran tekanan uap jenuh air pada temperatur yang sama. *Dry-bulb temperature* adalah kata lain dari temperatur udara dan dapat diukur menggunakan termometer. *Wet-bulb temperature* adalah kandungan air dalam udara yang diukur menggunakan termometer yang dilapisi kain basah. Beban pendinginan bangunan didapat dari :

- Konduksi panas dari luar melalui atap, dinding, dan jendela.
- Radiasi sinar matahari melalui jendela.



- Konduksi panas melalui sambungan dinding, *ceiling* (langit-langit), dan lantai.
- Panas internal oleh manusia, lampu, kompor, serta alat penghasil panas lainnya.
- Udara panas dan lembab yang masuk melalui pintu, jendela, dan *ventilator* (kipas angin).

Semua beban tersebut rata-rata memberikan kontribusi *sensible* dan *latent heat*, kecuali lampu, konduksi panas dan radiasi sinar matahari yang tidak memberikan kontribusi *latent heat*. Salah satu aspek yang cukup sulit dalam perkiraan beban pendinginan adalah perkiraan waktu maksimum beban pendinginan terjadi. Tabiatnya, beban pendinginan tersebut naik turun dalam rentang jam, hari bahkan bulan dalam satu tahun. Sebagai contoh, panas yang didapatkan dari atap akan maksimal ketika tengah hari, sementara panas yang didapatkan dari dinding sebelah timur akan mencapai maksimal pada pagi hari.

Untuk perhitungan panas melalui dinding (*shaded wall*) menggunakan persamaan (Ridwan, 2010):

$$Q = U \times A \times \Delta T \quad (2.1)$$

Dengan  $U$  adalah (*overall heat transfer coefficient*),  $A$  adalah luas dinding dikurangi luas jendela, sedangkan  $\Delta T$  adalah nilai *dry-bulb* dikurangi *wet-bulb*.

Untuk perhitungan panas melalui *sunlit* (dinding yang terkena sinar matahari) menggunakan persamaan (Ridwan, 2010):

$$Q = U \times A \times CLTD \quad (2.2)$$

Dengan  $CLTD$  (*cooling load temperature different*) digunakan untuk menghitung adanya heat transfer dari bagian luar yakni dinding, atap, dan jendela.  $CLTD$  merupakan fungsi dari kemampuan bahan dalam menyimpan panas dan merupakan pengganti  $\Delta T$  dalam perhitungan konduksi.

Untuk menghitung sinar radiasi matahari yang melalui kaca menggunakan persamaan (Ridwan, 2010):

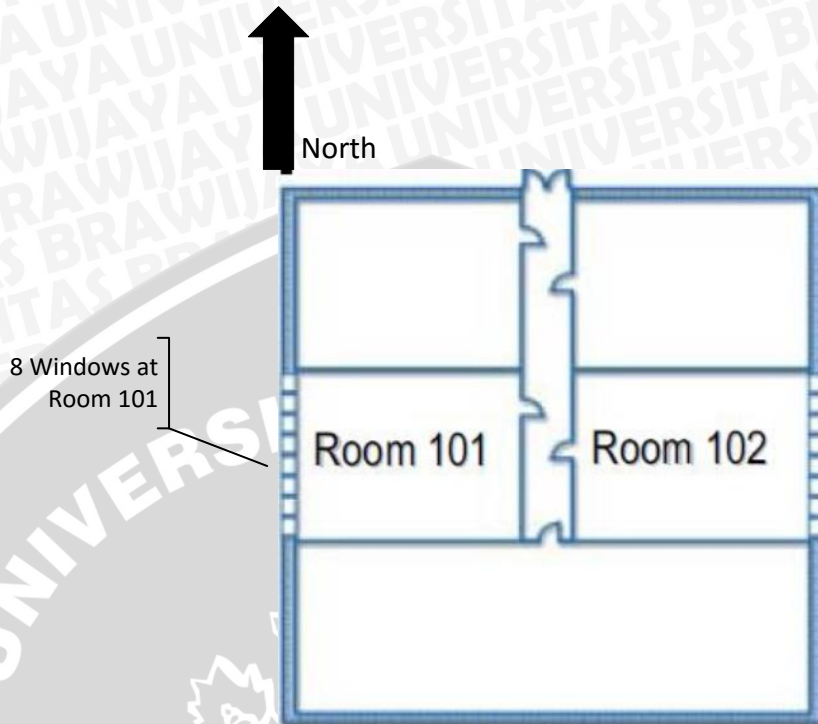
$$Q = A \times SC \times SCL \quad (2.3)$$

Dengan  $Q$  = radiasi panas yang masuk ke dalam ruangan,  $A$  = total luas kaca dalam satuan  $m^2$  ,  $SC$  = *shading coefficient* ,  $SCL$  = *solar cooling load factor* dalam satuan  $W/m^2$ . Nilai  $SCL$  didasarkan atas beberapa variabel yakni arah jendela, waktu dalam sehari, serta bulan dan garis lintang.

## 2.2.2 Contoh Perhitungan

Sebagai contoh perhitungan beban pemanasan dan beban pendinginan bangunan, penulis menggunakan contoh bangunan 101 dalam buku ASHRAE (American Society of Heating, Refrigerating and Air-Conditioning Engineers,

1997). Berikut beberapa poin yang menjelaskan keadaan ruang yang akan dihitung :



Gambar 2.1 Denah Ruangan 101

Sumber : (American Society of Heating, Refrigerating and Air-Conditioning Engineers, 1997)

- Ruang yang dihitung adalah ruangan no 101.
- Arah jendela menghadap ke barat sehingga mendapatkan radiasi maksimal ketika sore hari dengan asumsi jam 4 sore.
- Lokasi berada di St.Louis Missouri memiliki luas lantai  $13.7 \times 18.3$  m dan tinggi bangunan 3,7 m.
- Kondisi ruangan yang diinginkan adalah  $25,6^{\circ}\text{C}$  *dry-bulb* dan 50% *relative humidity*.
- Dinding yang menghadap ke barat seluas ( $3,7 \text{ m} \times 13,7\text{m}$ ) bermaterial setebal 203,2 mm *light concrete* dengan lapisan aluminium di bagian luar setebal 88,9 mm dan 12,7 mm lapisan gipsum di bagian dalam.
- Delapan buah jendela *double pane* (6,4 mm) dipasang di bagian dinding aluminium, masing-masing jendela seluas  $1.2 \text{ m} \times 1.5 \text{ m}$ .
- Atap datar memiliki luas  $13,7 \times 18.3$  m terbuat dari *concrete* 100 mm dengan lapisan isolasi dan *stell decking* setebal 90 mm.
- Ruangan ditempati dari jam 8 pagi hingga jam 5 sore oleh 18 orang yang bekerja ringan.
- Lampu *flourescent* sebesar  $21.5 \text{ W/m}^2$ .
- Komputer dan alat-alat yang lain sebesar  $5.4 \text{ W/m}^2$  ditambah satu *coffee maker*.

- Untuk memudahkan perhitungan diasumsikan bahwa ruang 101 kecuali dinding sebelah barat dikelilingi dengan ruangan yang suhunya sama dengan ruangan 101.
- Catatan : sistem HVAC biasanya akan sangat *oversized* jika perhitungan didasarkan pada suhu paling ekstrem (pada kasus musim panas, adalah paling panas) oleh karena itu *outdoor design temperature* didasarkan pada frekuensi paling sering.

**Tabel 2.2 Nilai *dry-bulb* dan *wet-bulb temperature***

|                        | 0,40%            |                  | 1,00%            |                  | 2%               |                  |
|------------------------|------------------|------------------|------------------|------------------|------------------|------------------|
|                        | DB               | WB               | DB               | WB               | DB               | WB               |
| St. Louis,<br>Missouri | 95° F<br>[36° C] | 76° F<br>[25° C] | 93° F<br>[34° C] | 75° F<br>[24° C] | 90° F<br>[32° C] | 74° F<br>[23° C] |

Sumber : (American Society of Heating, Refrigerating and Air-Conditioning Engineers, 1997)

- Tabel 2.2 menunjukkan 3 kolom *dry-bulb* dan *wet-bulb temperature*. Angka 0.4% menunjukkan bahwa temperatur di St Louis melebihi 35°C hanya 0.4% dalam satu tahun. Demikian juga dengan kolom kedua, angka 1% artinya temperatur yang melebihi 34°C hanya 1% atau sekitar 87.6 jam dalam satu tahun, ketika *dry-bulb* 34°C maka *wet-bulb temperature* yang paling sering terjadi adalah 24°C.
- Dalam kasus ini akan menggunakan angka 35°C untuk *dry-bulb* dan 25°C untuk *wet-bulb*.

#### A. Panas yang melalui dinding (shaded wall)

- Menggunakan persamaan (2.1), yakni  $Q = U \times A \times \Delta T$ .
- Perhitungan nilai  $U$  (*overall heat transfer coefficient*) dan data-datanya didapatkan dari ASHRAE (Ridwan, 2010).
- Dinding bangunan tersebut merupakan seri dari beberapa bahan sebagai berikut:

$$\text{Aluminium} \quad R = 0.11 \text{ m}^2 \text{ °K/W}$$

$$200 \text{ mm concrete ringan} \quad R = 0.35 \text{ m}^2 \text{ °K/W}$$

$$90 \text{ mm fiberglass} \quad R = 2.29 \text{ m}^2 \text{ °K/W}$$

$$12.7\text{mm gypsum} \quad R = 0.08 \text{ m}^2 \text{ °K/W}$$

- Sebagai asumsi udara di luar ruangan bergerak dengan kecepatan 12 km/jam di waktu summer maka nilai  $R = 0,044$  dan di bagian dalam  $R = 0,12$ . Berikut perhitungannya (Ridwan, 2010):

$$U = \frac{1}{R_{\text{outdoor-airfilm}} + R_{\text{siding}} + R_{\text{concrete}} + R_{\text{siding}} + R_{\text{gypsum}} + R_{\text{indoor-airfilm}}}$$

$$= \frac{1}{0,044 + 0,11 + 0,35 + 2,29 + 0,08 + 0,12} = \frac{1}{2,994} = 0,33 \text{ W/m}^2 \text{ } ^\circ\text{K}$$

- Maka perhitungan U atap adalah sebagai berikut (Ridwan, 2010):

$$U = \frac{1}{0,044 + 0,06 + 2,29 + 0,54 + 0 + 0,16}$$

$$= \frac{1}{3,09} = 0,323 \text{ W/m}^2 \text{ } ^\circ\text{K}$$

- Maka panas konduksi yang melalui dinding sebelah barat dengan asumsi sehari tidak terkena matahari adalah total area dinding adalah luas dinding dikurangi luas jendela:  $[3.7 \times 13.7 \text{ m}] - [8 \times (1.2 \times 1.5) = 14.4 \text{ m}^2] = 36.3 \text{ m}^2$ , maka  $Q = U \times A \times \Delta T$ ,  $Q = 0.33 \times 36.3 \times (35 - 25.6) = 113 \text{ W}$ .

#### B. Perhitungan konduksi permukaan sunlit

- Sebagian besar dari permukaan bangunan biasanya terpapar sinar matahari. Radiasi sinar matahari sama dengan cahaya lampu yang berjalan tegak lurus dan dapat direfleksikan dari permukaan yang cerah (putih) serta dapat menembus kaca (*transparent surface*).
- Saat cahaya matahari mengenai permukaan dinding, sebagian energinya masuk dan memanasi permukaan dinding. Besarnya energi cahaya akan mencapai maksimum pada sudut datang 90 derajat.
- Dinding dan atap mampu untuk menyimpan energi, oleh karena itu mampu membuat penundaan transfer energi dari luar ke dalam.
- Sebuah faktor yakni CLTD digunakan untuk menghitung adanya perpindahan panas dari bagian luar yaitu dinding, atap dan jendela (*exterior wall*). CLTD adalah fungsi dari kemampuan bahan dalam menyimpan panas, serta pengganti  $\Delta T$  di perhitungan konduksi yang menggunakan persamaan (2.2)  $Q = U \times A \times CLTD$ .
- Pada Tabel 2.3 ditunjukkan nilai CLTD tembok yang menghadap barat. Cell berwarna hijau adalah yang digunakan dalam perhitungan:

**Tabel 2.3 Nilai CLTD Tembok**

|           | Hour |    |    |    |    |    |    |   |   |    |    |    |    |    |    |    |    |    |    |    |    |    |    |    |
|-----------|------|----|----|----|----|----|----|---|---|----|----|----|----|----|----|----|----|----|----|----|----|----|----|----|
|           | 1    | 2  | 3  | 4  | 5  | 6  | 7  | 8 | 9 | 10 | 11 | 12 | 13 | 14 | 15 | 16 | 17 | 18 | 19 | 20 | 21 | 22 | 23 | 24 |
| CLTD [°F] | 35   | 30 | 25 | 21 | 17 | 14 | 11 | 8 | 7 | 6  | 6  | 7  | 8  | 10 | 12 | 16 | 22 | 30 | 37 | 44 | 48 | 48 | 45 | 41 |
| CLTD [°C] | 19   | 17 | 14 | 12 | 9  | 8  | 6  | 4 | 4 | 3  | 3  | 4  | 4  | 6  | 7  | 9  | 12 | 17 | 21 | 24 | 27 | 27 | 25 | 23 |

*Sumber : (American Society of Heating, Refrigerating and Air-Conditioning Engineers, 1997)*

- Perlu diperhatikan nilai CLTD pada Tabel 2.3 adalah nilai yang telah sesuai dengan asumsi yang diberikan sebelumnya yakni suhu ruangan 25.6°C suhu maksimum *outdoor* 35°C dan maksimum perbedaan temperatur harian 11.7°C, tanggal 21 Juli, 40° lintang utara dan permukaan dinding warna gelap.
- Dinding yang digunakan diklasifikasikan dalam dinding tipe 9, pada jam 4 sore (jam ke 17 dalam Tabel 2.4 yang ditandai warna hijau), CLTD untuk dinding yang menghadap ke barat adalah 12°C, ini artinya meskipun perbedaan suhu udara kering aktual berkisar 9.4°C, tetapi matahari yang memanasi dinding seolah-olah menambah perbedaan temperatur menjadi 12°C.
- Perlu diperhatikan bahwa nilai CLTD naik di siang hari dan turun di sore hari, karena panas yang tersimpan akhirnya tertransfer ke dalam ruangan.

**Tabel 2.4 Nilai CLTD *Sunlit Walls* (40° Lintang Utara, 21 Juli)**

|    |    | Wall Type 9 |    |    |   |   |   |   |   |   |    |    |    |    |    |    |    |    |    |    |    |    |    |    |    |
|----|----|-------------|----|----|---|---|---|---|---|---|----|----|----|----|----|----|----|----|----|----|----|----|----|----|----|
|    |    | Hour        |    |    |   |   |   |   |   |   |    |    |    |    |    |    |    |    |    |    |    |    |    |    |    |
|    |    | 1           | 2  | 3  | 4 | 5 | 6 | 7 | 8 | 9 | 10 | 11 | 12 | 13 | 14 | 15 | 16 | 17 | 18 | 19 | 20 | 21 | 22 | 23 | 24 |
| N  | 9  | 8           | 7  | 6  | 5 | 4 | 3 | 2 | 2 | 2 | 3  | 4  | 6  | 6  | 7  | 8  | 9  | 11 | 12 | 12 | 13 | 13 | 12 | 11 |    |
| NE | 10 | 8           | 7  | 6  | 5 | 4 | 3 | 3 | 3 | 6 | 9  | 11 | 13 | 14 | 14 | 15 | 15 | 15 | 16 | 16 | 15 | 14 | 14 | 13 | 11 |
| E  | 11 | 9           | 8  | 7  | 6 | 4 | 3 | 3 | 4 | 7 | 11 | 14 | 18 | 20 | 21 | 21 | 21 | 20 | 19 | 18 | 17 | 16 | 14 | 13 |    |
| SE | 11 | 9           | 8  | 7  | 6 | 4 | 3 | 3 | 3 | 5 | 7  | 11 | 14 | 17 | 19 | 20 | 21 | 20 | 19 | 19 | 18 | 16 | 14 | 13 |    |
| S  | 12 | 10          | 8  | 7  | 6 | 4 | 3 | 3 | 2 | 2 | 2  | 3  | 6  | 8  | 11 | 14 | 16 | 18 | 19 | 19 | 18 | 17 | 15 | 13 |    |
| SW | 17 | 14          | 12 | 10 | 8 | 7 | 5 | 4 | 3 | 3 | 3  | 3  | 4  | 6  | 8  | 11 | 14 | 18 | 22 | 24 | 25 | 24 | 22 | 20 |    |
| W  | 19 | 17          | 14 | 12 | 9 | 8 | 6 | 4 | 4 | 3 | 3  | 4  | 4  | 6  | 7  | 9  | 12 | 17 | 21 | 24 | 27 | 27 | 25 | 23 |    |
| NW | 16 | 14          | 12 | 9  | 8 | 6 | 5 | 4 | 3 | 3 | 3  | 3  | 4  | 5  | 6  | 8  | 10 | 12 | 16 | 19 | 21 | 21 | 20 | 18 |    |

*Sumber : (American Society of Heating, Refrigerating and Air-Conditioning Engineers, 1997), Chapter 28, Tabel 32*

**Tabel 2.5 Nilai CLTD *Flat Roofs* (40° Lintang Utara, 21 Juli)**

| Roof Type | Hour |    |    |    |    |    |    |    |    |    |    |    |    |    |    |    |    |    |    |    |    |    |    |    |
|-----------|------|----|----|----|----|----|----|----|----|----|----|----|----|----|----|----|----|----|----|----|----|----|----|----|
|           | 1    | 2  | 3  | 4  | 5  | 6  | 7  | 8  | 9  | 10 | 11 | 12 | 13 | 14 | 15 | 16 | 17 | 18 | 19 | 20 | 21 | 22 | 23 | 24 |
| 1         | 0    | -1 | -2 | -3 | -3 | -3 | 0  | 7  | 16 | 25 | 33 | 41 | 46 | 49 | 49 | 46 | 41 | 33 | 24 | 14 | 8  | 5  | 3  | 1  |
| 2         | 1    | 0  | -1 | -2 | -3 | -3 | -2 | 2  | 9  | 18 | 27 | 34 | 41 | 46 | 48 | 47 | 44 | 39 | 31 | 22 | 14 | 8  | 5  | 3  |
| 3         | 7    | 4  | 3  | 1  | 0  | -1 | 0  | 3  | 7  | 13 | 19 | 26 | 32 | 37 | 40 | 41 | 41 | 37 | 33 | 27 | 21 | 17 | 13 | 9  |
| 4         | 9    | 6  | 4  | 2  | 1  | -1 | -2 | -2 | 0  | 4  | 9  | 16 | 23 | 30 | 36 | 41 | 43 | 43 | 41 | 37 | 31 | 25 | 19 | 13 |
| 5         | 12   | 9  | 7  | 4  | 3  | 2  | 1  | 1  | 3  | 7  | 12 | 17 | 23 | 28 | 33 | 37 | 38 | 38 | 36 | 33 | 28 | 23 | 19 | 15 |

*Sumber : (American Society of Heating, Refrigerating and Air-Conditioning Engineers, 1997), Chapter 28, Table 32*

- Dengan menggunakan CLTD (menggantikan  $\Delta T$ ) maka dilakukan perhitungan konduksi melalui dinding sebelah barat dan atap. Tabel 2.5 yang ditandai warna hijau menunjukkan nilai CLTD atap tipe 2 pada jam 5 sore.
- Untuk dinding yang menghadap ke barat:  $Q = 0.33 \times 36.3 \times 12 = 144$  W.
- Sedangkan untuk atap:  $Q = 0.323 \times 250.7 \times 44 = 3,563$  W.

### C. Penentuan *U-factor* pada jendela

- Penentuan *U-factor* pada kaca jendela juga sama dengan cara penentuan pada jendela dan atap. Jendela kaca dalam kasus ini adalah 6.4 mm dan udara bebas diantaranya. Di asumsikan jendela tetap *fix*, tidak bisa buka tutup dengan *frame* aluminium dan *thermal break* maka *U-factor* adalah 3.56 W/m<sup>2</sup>K.
- Maka besar konduksi untuk 8 buah jendela adalah  $Q = 3.56 \times 14.4 \times 7 = 359$  W.
- Nilai CLTD = 7 (sesuai tanda hijau pada Tabel 2.6), juga didapat dari daftar ASHRAE berikut:

**Tabel 2.6 Nilai CLTD untuk Jendela**

|   |   | Hour |    |    |    |    |   |   |    |    |    |    |    |    |    |    |    |    |    |    |    |    |    |  |
|---|---|------|----|----|----|----|---|---|----|----|----|----|----|----|----|----|----|----|----|----|----|----|----|--|
| 1 | 2 | 3    | 4  | 5  | 6  | 7  | 8 | 9 | 10 | 11 | 12 | 13 | 14 | 15 | 16 | 17 | 18 | 19 | 20 | 21 | 22 | 23 | 24 |  |
| 1 | 0 | -1   | -1 | -1 | -1 | -1 | 0 | 1 | 2  | 4  | 5  | 7  | 7  | 8  | 8  | 7  | 7  | 6  | 4  | 3  | 2  | 2  | 1  |  |

Sumber : (American Society of Heating, Refrigerating and Air-Conditioning Engineers, 1997), Chapter 28, Table 34

#### D. Radiasi matahari melalui kaca

- Panas terbesar yang masuk melalui kaca adalah melalui radiasi langsung jika dibandingkan melalui konduksi.
- Kaca yang *double* atau *triple* sangat efektif dalam menghambat panas konduksi tetapi tidak banyak berpengaruh dalam menahan radiasi.
- Untuk membatasi jumlah sinar matahari yang masuk maka akan lebih efektif menggunakan lapisan penyerap panas, *reflective glass*, atau *internal* dan *external shading*.
- SCL digunakan untuk menghitung rerata radiasi matahari yang masuk ke dalam ruangan, memanaskan ruangan dan melepaskan panasnya dalam bentuk *sensible heat*.
- SCL didasarkan atas beberapa variabel yaitu : arah jendela, waktu dalam sehari, bulan dan garis lintang. Empat variabel ini menentukan posisi jendela dalam hubungannya dengan sudut datang sinar matahari.
- Dua variabel yang lain yaitu interior partisi dinding dan tipe dari lantai menentukan kapasitas dan ruang untuk menyimpan panas. Dua hal ini akan menentukan *time lag* antara radiasi matahari memanasi ruangan dan perabotan dan waktu dimana panas dilepaskan oleh benda-benda tadi ke dalam ruangan.
- Yang terakhir yaitu *shading* menentukan besarnya sinar matahari yang masuk melalui kaca jendela.
- Dalam contoh perhitungan ini, nilai SCL untuk jendela bisa dilihat dalam Tabel 2.7 yang ditandai warna hijau.

**Tabel 2.7 Nilai SCL untuk jendela yang terkena sinar matahari maksimal (40°  
Lintang Utara, 21 Juli)**

|    | Space Type A |   |   |   |   |     |     |     |     |     |     |     |     |     |     |     |     |     |     |    |    |    |    |    |
|----|--------------|---|---|---|---|-----|-----|-----|-----|-----|-----|-----|-----|-----|-----|-----|-----|-----|-----|----|----|----|----|----|
|    | Hour         |   |   |   |   |     |     |     |     |     |     |     |     |     |     |     |     |     |     |    |    |    |    |    |
|    | 1            | 2 | 3 | 4 | 5 | 6   | 7   | 8   | 9   | 10  | 11  | 12  | 13  | 14  | 15  | 16  | 17  | 18  | 19  | 20 | 21 | 22 | 23 | 24 |
| N  | 0            | 0 | 0 | 0 | 3 | 79  | 85  | 88  | 101 | 110 | 120 | 126 | 126 | 123 | 113 | 98  | 98  | 113 | 38  | 19 | 9  | 3  | 3  | 0  |
| NE | 0            | 0 | 0 | 0 | 6 | 268 | 406 | 422 | 353 | 236 | 173 | 151 | 139 | 126 | 117 | 101 | 82  | 57  | 22  | 9  | 6  | 3  | 0  | 0  |
| E  | 0            | 0 | 0 | 0 | 6 | 293 | 495 | 583 | 576 | 485 | 334 | 211 | 167 | 142 | 123 | 104 | 82  | 57  | 22  | 9  | 6  | 3  | 0  | 0  |
| SE | 0            | 0 | 0 | 0 | 3 | 148 | 299 | 413 | 473 | 413 | 306 | 198 | 154 | 129 | 107 | 85  | 57  | 22  | 9   | 6  | 3  | 0  | 0  | 0  |
| S  | 0            | 0 | 0 | 0 | 0 | 28  | 54  | 79  | 129 | 202 | 268 | 306 | 302 | 265 | 198 | 132 | 98  | 63  | 25  | 13 | 6  | 3  | 0  | 0  |
| SW | 0            | 0 | 0 | 0 | 0 | 28  | 54  | 76  | 95  | 110 | 123 | 202 | 318 | 419 | 476 | 479 | 419 | 293 | 110 | 54 | 25 | 13 | 6  | 3  |
| W  | 3            | 0 | 0 | 0 | 0 | 28  | 54  | 76  | 95  | 110 | 120 | 126 | 205 | 359 | 498 | 589 | 605 | 491 | 180 | 85 | 41 | 19 | 9  | 6  |
| NW | 3            | 0 | 0 | 0 | 0 | 28  | 54  | 76  | 95  | 110 | 120 | 126 | 126 | 158 | 265 | 381 | 450 | 410 | 145 | 69 | 35 | 16 | 9  | 3  |

*Sumber : (American Society of Heating, Refrigerating and Air-Conditioning Engineers, 1997), Chapter 28, Table 36*

- SC (*shading coefficient*) adalah angka yang digunakan untuk memberikan porsi seberapa banyak sinar matahari masuk melewati jendela luar dan kemudian masuk ke dalam ruangan.
- *Shading coefficient* jendela didapatkan dengan membandingkan reflektifitas kaca bersangkutan dengan standar jendela. Semakin kecil nilainya semakin banyak sinar matahari yang dipantulkan keluar.
- Bangunan dalam contoh perhitungan ini menggunakan jendela dua panel setebal 6.4 mm dipasang di panel alumunium dan *fixed*. Nilai SC-nya adalah 0.74.
- Maka besar radiasi solar melalui jendela dihitung menggunakan persamaan (2.3) adalah  $Q = 14.4 \times 0.74 \times 605 = 6447 \text{ W}$ .

#### *Shading device*

- Menggunakan *internal shading*, seperti *venetian blinds*, *curtain* atau *drape* dapat mengurangi sinar matahari yang masuk.
- Efektivitasnya tergantung pada kemampuannya untuk memantulkan kembali sinar yang masuk ke dalam ruangan.
- Dapat pula menggunakan *shading external* seperti *overhang*, *vertical fins*, atau *awning* untuk mengurangi panas yang masuk ke jendela.

#### E. Panas Internal

- Beban panas internal yang utama adalah manusia, lampu, alat masak, motor dll.
- Tabel 2.8 berisi tentang beberapa panas yang dibangkitkan oleh beberapa peralatan dan manusia.

**Tabel 2.8 Level Aktifitas**

| Level of Activity                        | Sensible Heat Gain | Latent Heat Gain  |
|--|--------------------|-------------------|
| Moderately active work (office)          | 250 Btu/h [75W]    | 200 Btu/h [55W]   |
| Standing, light work, or walking (store) | 250 Btu/h [75W]    | 200 Btu/h [55W]   |
| light bench work (factory)               | 275 Btu/h [80W]    | 475 Btu/h [140W]  |
| heavy work (factory)                     | 580 Btu/h [170W]   | 870 Btu/h [255W]  |
| athletics (gymnasium)                    | 710 Btu/h [210W]   | 1090 Btu/h [315W] |

*Sumber : (American Society of Heating, Refrigerating and Air-Conditioning Engineers, 1997)*

- Dalam perhitungan ini dikenalkan konsep CLF (*Cooling load Factor*), dimana konsepnya sama dengan CLTD untuk konduksi dan SCL untuk radiasi sinar yaitu untuk menghitung kapasitas dari ruangan dalam menyimpan panas.
- Panas *sensible* yang oleh manusia diserap dan disimpan oleh semua benda dalam ruangan. Ada waktu jeda antara benda-benda itu mendapatkan panas dan akhirnya melepaskan panas tersebut kembali sehingga mempengaruhi panas di ruangan.
- Dalam menghitung panas dari manusia, nilai dari CLF tergantung pada kontruksi dinding bagian dalam, tipe dari lantai, jumlah jam ruangan dipakai oleh manusia, dan jumlah jam sejak manusia masuk ke ruangan tersebut.

**Tabel 2.9 Nilai CLF manusia**

| Total Hour | Hours after people enter space |     |      |      |      |      |      |     |     |     |     |      |
|------------|--------------------------------|-----|------|------|------|------|------|-----|-----|-----|-----|------|
|            | 1                              | 2   | 3    | 4    | 5    | 6    | 7    | 8   | 9   | 10  | 11  | 12   |
| 2          | 0,65                           | 0,7 | 0,16 | 0,11 | 0,08 | 0,06 | 0,05 | 0   | 0   | 0   | 0   | 0,01 |
| 4          | 0,65                           | 0,8 | 0,81 | 0,85 | 0,24 | 0,17 | 0,13 | 0,1 | 0,1 | 0,1 | 0   | 0,03 |
| 6          | 0,65                           | 0,8 | 0,81 | 0,85 | 0,89 | 0,91 | 0,29 | 0,2 | 0,2 | 0,1 | 0,1 | 0,07 |
| 8          | 0,65                           | 0,8 | 0,81 | 0,85 | 0,89 | 0,91 | 0,93 | 1   | 0,3 | 0,2 | 0,2 | 0,13 |
| 10         | 0,65                           | 0,8 | 0,81 | 0,85 | 0,89 | 0,91 | 0,93 | 1   | 1   | 1   | 0,3 | 0,24 |

*Sumber : (American Society of Heating, Refrigerating and Air-Conditioning Engineers, 1997)*

- Dari tabel 2.9 dapat dilihat bahwa satu jam setelah orang masuk ke ruangan, ada 35% (1 - 0,65) dari panas *sensible* diserap oleh dinding lantai dan perabotan, dan 65 % adalah nilai aktual beban pendinginan dari manusia.
- Dengan melihat tabel ke arah kanan, dengan semakin lama orang ada dalam ruangan ternyata dinding, lantai dan perabotan tidak lagi menyerap banyak panas dan semua benda itu melepaskan panas yang didapatkan sebelumnya.



- Contohnya jika orang masuk pada jam 08 pagi dan bertahan total 8 jam, sampai dengan pukul 14 (6 jam setelah masuk), maka 91% dari panas yang dibangkitkan manusia merupakan beban pendinginan oleh ruangan hanya 9 persen yang diserap oleh permukaan (dinding lantai atap) dan perabotan.
- Catatan : Jika suhu ruangan tidak diatur pada suhu sama dalam waktu 24 jam, maka nilai CLF = 1. Rata-rata AC dimatikan di malam hari dan dinaikkan *setting* suhunya untuk mengurangi energi, oleh karena itu CLF =1.
- Jadi nilai beban dari manusia : *Sensible heat* : 18 (orang) x 75 W x 1 = 1350 W *Latent heat* : 18 x 55 W x 1 = 990 W.

#### F. Panas dari lampu

- Panas lampu merupakan hal yang sangat signifikan, sebagai contoh, sebuah lampu 120 watt membangkitkan 120W, yang rata-rata sama dengan panas yang dibangkitkan oleh rata-rata seorang pekerja kantor.
- Ketika menghitung panas *flourescent lights*, maka 20% ditambahkan untuk memperhitungkan panas dari *ballast*. Maka persamaan adalah :  

$$Q = \text{watts} \times \text{ballast factor} \times \text{CLF} \quad (2.4)$$
- Perhitungan panas dari lampu = Jumlah penerangan : 21.5 W/m<sup>2</sup>
- Luas lantai : 13.7 x 18.3 = 250.7 m<sup>2</sup>.
- Total energi untuk penerangan = 21.5 W/m<sup>2</sup> x 250.7 m<sup>2</sup> = 5400 W
- Nilai *Ballast factor* 1.2 (lampu *flourescent*) CLF = 1.0 karena *temperature set point* pada malam hari dinaikkan, sehingga besar nilai  $Q = 5400 \times 1.2 \times 1.0 = 6480$  W.

#### G. Panas dari peralatan

- ASHRAE juga memberikan beberapa pedoman panas yang dibangkitkan dari beberapa peralatan rumah tangga seperti yang tertera pada Tabel 2.10.

**Tabel 2.10 Contoh alat rumah tangga yang dapat memberikan panas**

| Equipment                | Sensible Heat Gain |         | Latent Heat Gain |        |
|--------------------------|--------------------|---------|------------------|--------|
| Coffee maker             | 3580 Btu/h         | [1050W] | 1540 Btu/h       | [450W] |
| printer (letter quality) | 1000 Btu/h         | [292W]  |                  |        |
| typewriter               | 230 Btu/h          | [67W]   |                  |        |

*Sumber* : (American Society of Heating, Refrigerating and Air-Conditioning Engineers, 1997)

- Coffee maker* memberikan kontribusi panas sebesar 1050 W (*sensible*) dan 450 W (*latent*).
- Juga komputer sebanyak 5.4W/m<sup>2</sup> dengan Luas lantai 250.7 m<sup>2</sup> maka menghasilkan panas : 1354 W.

#### H. Beban panas karena infiltrasi

- Infiltrasi selalu terjadi dalam bangunan, maka infiltrasi AC selalu memberikan kontribusi pada beban panas *sensible* dan *latent* karena udara luar biasanya lebih panas dan lebih lembab dari pada ruangan dalam.
- Beberapa metode yang biasa digunakan untuk menghitung adalah:
  - A. *Air Change Method*
    - Metode ini paling mudah tetapi pada saat yang sama juga paling tidak akurat.
    - Dengan menggunakan metode ini jumlah udara infiltrasi dihitung dengan persamaan :  

$$\text{Infiltrasi} = (\text{volume ruang} \times \text{air change rate}) : 60$$
  - B. *Crack Method*
    - Metode ini lebih kompleks dan berdasar pada rata-rata kuantitas udara masuk melalui *crack* di sekitar jendela dan pintu ketika kecepatan udara konstan.
  - C. *Effective leakage-area method*, juga mempertimbangkan kecepatan angin, *shielding*, dan *stack effect*, dan membutuhkan perhitungan yang detail.
    - Dengan menggunakan metode ACH, nilai infiltrasi adalah :  

$$\text{Infiltrasi} = (927.6 \times 0.3) / 3600 = 0.077 \text{ m}^3/\text{s}$$
 Daftar ACH untuk infiltrasi bisa dilihat di Tabel 2.11.

**Tabel 2.11 Estimasi Hembusan Angin, Pergantian Udara per jam**

|  |     |
|--|-----|
| Neutral Pressure, poor construction    | 1   |
| Neutral Pressure, average construction | 0,6 |
| Neutral Pressure, tight construction   | 0,3 |
| Pressurized, poor construction         | 0,5 |
| Pressurized, average construction      | 0,3 |
| Pressurized, tight construction        | 0   |

Sumber : (American Society of Heating, Refrigerating and Air-Conditioning Engineers, 1997)

- Perhitungan *sensible heat* untuk infiltrasi :  $QS = 1,210 \times \text{airflow} \times \Delta T$   
 $QS = 1,210 \times 0.077 \times (35 - 25.6) = 876 \text{ W}$
- Perhitungan *latent heat* adalah sebagai berikut :  $QL = 3,010 \times \text{airflow} \times \Delta W$  [ $QL = 3,010 \times 0.077 \times (15 - 10) = 1,159 \text{ W}$ ]
- Dengan 1210 adalah *specific heat*, 3,010 adalah *latent heat factor*,  $\Delta W$  adalah perbedaan antara *outdoor* dan *indoor design humidity ration*. Catatan : angka 1210 dan 3010 adalah tidak konstan tergantung pada kondisi tertentu yaitu kondisi 21°C udara kering pada permukaan laut.
- Densitas udara = 1.2 kg/m<sup>3</sup>, panas spesifik = 1,004 J/kg°K, *Latent heat of water vapor* = 12,503 kJ/kg, maka  $1.2 \times 1,004 = 1,210$ , Sementara 0.7 ( $1.2 \times 2.503 \times 1000 \text{ J/kJ} / 1.000 \text{ g/kg} = 3010$ ).

Pada Tabel 2.12 ditunjukkan ringkasan hasil perhitungan beban panas pada bangunan 101:

**Tabel 2.12 Ringkasan hasil perhitungan**

| Beban Panas                   | Sensible     | Latent      |
|-------------------------------|--------------|-------------|
| Konduksi melalui atap         | 3563         |             |
| Konduksi melalui dinding luar | 144          |             |
| Konduksi melalui jendela      | 359          |             |
| Radiasi Solar melewati kaca   | 6447         |             |
| Beban orang                   | 1350         | 990         |
| Lampu                         | 6480         |             |
| Alat-alat listrik             | 2404         | 450         |
| Infiltrasi                    | 876          | 1159        |
| <b>Total</b>                  | <b>21623</b> | <b>2599</b> |

### 2.3 Normalisasi dan Denormalisasi

Normalisasi dilakukan untuk mendapatkan data dengan ukuran yang lebih kecil antara 0-1 yang mewakili data asli tanpa kehilangan karakteristik data itu sendiri. Adapun persamaan Normalisasi yakni:

$$Y = (A - B) * \frac{x - Min}{Max - Min} + B \quad (2.5)$$

Dengan keterangan x adalah nilai data, Min adalah nilai data minimum, Max adalah nilai data maksimum, A dan B adalah batas nilai diantara ukuran data yang ditentukan yakni A = 0,9 sedangkan B = 0,1. Jenis normalisasi diatas adalah normalisasi Min-Max yang fungsinya adalah menyediakan transformasi linear pada kisaran asli dari data (Patro & Sahu, 2015).

Denormalisasi dilakukan dengan tujuan mendapatkan data yang asli melalui cara mengembalikan ukuran data yang telah dinormalisasikan sebelumnya. Adapun persamaan denormalisasi sebagai berikut :

$$X = \frac{Y-B}{A-B} * (Max - Min) + Min \quad (2.6)$$

Dengan y adalah hasil dari normalisasi, Min adalah nilai data minimum, Max adalah nilai data Maksimum.

### 2.4 Support Vector Regression (SVR)

SVR merupakan penerapan *support vector machine* (SVM) untuk kasus regresi. Dalam kasus regresi *output* berupa bilangan riil atau kontinyu. SVR merupakan metode yang dapat mengatasi *overfitting*, sehingga akan menghasilkan performansi yang bagus (Smola & Scholkopf, 2004). SVR bertujuan untuk memetakan *vector* masukan ke dalam dimensi fitur yang lebih tinggi sehingga dapat menerima regresi linear (Abe, 2005 disitasi dalam Amanda, et.al., 2014, p.2). Sebuah fungsi regresi *linear* dapat dimisalkan seperti persamaan (2.7).



$$f(x) = \omega\varphi(x) + b \quad (2.7)$$

Dengan keterangan  $\omega$  dan  $b$  adalah koefisien sedangkan  $\varphi(x)$  adalah fungsi pemetaan nilai  $x$  pada dimensi fitur yang lebih tinggi.

Ada sebuah algoritma sekuensial hasil ciptaan Vijayakumar dan Wu yang dapat menghasilkan solusi optimal dengan iterasi lebih cepat jika dibandingkan metode konvesional. Berikut penjelasan mengenai tahapan algoritma sekuensial:

1. Inisialisasi parameter dan jumlah iterasi

Parameter yang biasanya digunakan dalam metode SVR adalah  $\lambda$  (*lambda*, variabel skalar),  $\gamma$  (*gamma, learning rate*),  $C$  (balanceable parameter), dan  $\varepsilon$  (*epsilon, insensitive parameter*).

2. Menghitung matriks *Hessian*

Sebelum menghitung matriks *Hessian*, inisialisasi  $\alpha_i = \alpha_i^* = 0$ . Lalu, hitung matriks *Hessian* dengan menggunakan persamaan (2.8).

$$[R]_{ij} = K(x_i, x_j) + \lambda^2 \quad \text{Untuk } i, j = 1, \dots, l \quad (2.8)$$

Dengan keterangan  $l$  adalah banyaknya data,  $\lambda$  adalah variabel skalar, dan  $K(x_i, x_j)$  adalah fungsi *kernel*. Fungsi *kernel* adalah untuk memetakan data ke ruang dimensi yang lebih tinggi dengan harapan dalam ruang yang lebih tinggi, dimensi data dapat lebih terstruktur (Tonde, 2014 disertasi dalam Soebroto, A. A. et.al., 2015, p.3). Fungsi *kernel* yang digunakan adalah *kernel Gaussian* hasil implementasi *kernel Radial Basis Function* (Furi, et al., 2015) sebagaimana terumuskan dalam persamaan (2.9).

$$K(x_i, x_j) = e^{-\|x_i - x_j\|^2 / 2\sigma^2} \quad (2.9)$$

Dengan keterangan  $x_i$  dan  $x_j$  adalah nilai data,  $\sigma$  adalah nilai awal yang didefinisikan. Selanjutnya hasil dari matriks *Hessian*, terlebih dari data latih, adalah nilai parameter gamma ( $\gamma$ ) yang akan digunakan pada langkah selanjutnya yaitu penghitungan perubahan nilai *Lagrange Multiplier*. Nilai parameter gamma ( $\gamma$ ) dihitung dengan persamaan 2.10.

$$\gamma = \frac{cLR}{\max(\text{matriks Hessian})} \quad (2.10)$$

3. Langkah *sequential learning*

Langkah ini adalah langkah menghitung nilai error  $E_i$ , perubahan nilai *lagrange multiplier* ( $\alpha_i^*$  dan  $\alpha_i$ ), dan mendapatkan nilai *lagrange multiplier* baru dari data latih. Sebelum memulai langkah ini, inisialisasikan dulu nilai *lagrange multiplier* ( $\alpha_i^*$  dan  $\alpha_i$ ) yakni 0. Lalu, mulai dari data ke- $i, j = 1$  hingga ke- $l$  lakukan langkah-langkah berikut:

- a. Menghitung nilai galat  $E_i$

Nilai galat dapat dihitung dengan persamaan (2.11).

$$E_i = y_i - \sum_{j=1}^l (\alpha_j^* - \alpha_j) R_{ij} \quad (2.11)$$

Dengan keterangan  $E_i$  merupakan nilai galat ke- $i$ ,  $y_i$  merupakan nilai aktual ke- $i$ ,  $\alpha_j^* - \alpha_j$  merupakan nilai *Lagrange Multiplier* yang baru,  $l$  adalah banyaknya data latih.

b. Menghitung perubahan nilai *Lagrange Multiplier*

Perubahan nilai *Lagrange Multiplier* dapat dihitung dengan persamaan (2.12) untuk nilai  $\delta\alpha_i^*$  dan persamaan (2.13) untuk nilai  $\delta\alpha_i$ .

$$\delta\alpha_i^* = \min\{\max(\gamma(E_i - \varepsilon), -\alpha_i^*), C - \alpha_i^*\} \quad (2.12)$$

$$\delta\alpha_i = \min\{\max(\gamma(-E_i - \varepsilon), -\alpha_i), C - \alpha_i\} \quad (2.13)$$

Dengan keterangan  $\delta\alpha_i^*$  dan  $\delta\alpha_i$  adalah perubahan nilai dari  $\alpha_i^*$  dan  $\alpha_i$ ,  $\gamma$  adalah *learning rate*,  $\varepsilon$  adalah nilai *insensitive parameter*, dan  $C$  adalah nilai kompleksitas.

c. Menghitung nilai *Lagrange multiplier* yang baru

Nilai *Lagrange Multiplier* ( $\alpha_i^*$  dan  $\alpha_i$ ) yang baru didapatkan dari hasil penjumlahan nilai *Lagrange Multiplier* yang lama dengan nilai perubahannya ( $\delta\alpha_i^*$  atau  $\delta\alpha_i$ ). Nilai *Lagrange Multiplier* yang baru dapat dihitung dengan persamaan (2.14) dan (2.15).

$$\alpha_i^*(\text{baru}) = \delta\alpha_i^* + \alpha_i^*(\text{lama}) \quad (2.14)$$

$$\alpha_i(\text{baru}) = \delta\alpha_i + \alpha_i(\text{lama}) \quad (2.15)$$

4. Langkah perulangan (iterasi)

Langkah perulangan (mengulangi langkah no. 3) dilakukan hingga mencapai batas iterasi maksimal yang telah dinisialisasikan sebelumnya, atau hingga memenuhi syarat  $\max(|\delta\alpha_i|) < \varepsilon$  dan  $\max(|\delta\alpha_i^*|) < \varepsilon$ .

5. Menghitung nilai peramalan

Nilai peramalan dihitung menggunakan persamaan regresi (2.16).

$$f(x) = \sum_{i=1}^n (\alpha_j^* - \alpha_j)(K(x_i, x_j) + \lambda^2) \quad (2.16)$$

Dengan keterangan  $K(x_i, x_j)$  adalah fungsi *kernel*,  $\alpha_j^*$  dan  $\alpha_j$  adalah nilai *Lagrange Multiplier* yang baru,  $\lambda$  adalah variabel skalar, dan  $f(x)$  adalah nilai peramalan.

## 2.5 Kriteria Evaluasi

Evaluasi dilakukan untuk mengukur dan menguji model peramalan yang dibuat agar mampu memberikan hasil peramalan dengan nilai kesalahan paling kecil. Perhitungan pada tahap ini menggunakan MAPE. MAPE (*Mean Absolute Percentage Error*) merupakan ukuran statistik dari prediksi akurasi dan biasanya disajikan dalam bentuk persentase (Chou & Bui, 2014). Berikut persamaan (2.17) yang dapat digunakan untuk menghitung MAPE (Alwee, et al., 2013):

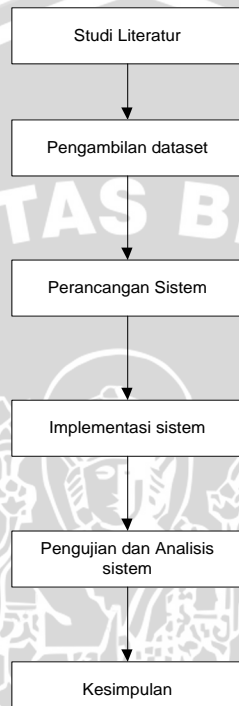
$$MAPE = \left( \frac{1}{n} \right) * \sum_{i=1}^n \left( \frac{|p_i - y_i|}{y_i} \right) * 100 \quad (2.17)$$

Dengan keterangan  $p_i$  adalah nilai terprediksi,  $y_i$  adalah nilai aktual, dan  $n$  adalah banyaknya *sample*. Jika sistem peramalan yang dibuat menghasilkan nilai MAPE yang semakin kecil (dibawah 5%), maka sistem tersebut memiliki akurasi performansi yang baik (Furi, et al., 2015).



### BAB 3 METODOLOGI PENELITIAN

Pada bab ini akan dibahas metode yang digunakan dan langkah yang dilakukan dalam penelitian prediksi beban pemanasan dan pendinginan bangunan menggunakan metode *Support Vector Regression* (SVR). Penelitian ini dilakukan dengan mengikuti tahapan seperti yang digambarkan pada diagram alir sebagai berikut:



Gambar 3.1. Diagram Alir Metode Penelitian

Penjelasan dari langkah – langkah pada Gambar 3.1 adalah sebagai berikut:

1. Mempelajari berbagai literatur yang megandung ilmu tentang beban pemanasan dan beban pendinginan bangunan, metode *Support Vector Regression*.
2. Mempelajari *dataset* yang akan digunakan sebagai *data training* dan data uji.
3. Melakukan perancangan sistem dari hasil analisis data agar dapat diterapkan menggunakan metode *Support Vector Regression*.
4. Proses membangun perangkat lunak berdasarkan hasil analisis kebutuhan dan perancangan sistem.
5. Proses pengujian dan analisis sistem pada metode untuk memastikan metode dapat berjalan sesuai tujuan penelitian.
6. Pengambilan kesimpulan berdasarkan hasil yang didapat dari hasil analisis sistem.

### 3.1 Studi Literatur

Dibutuhkan studi literatur yang berisi dasar teori untuk menunjang penulisan laporan skripsi. Media seperti jurnal, buku, bahkan penelitian sebelumnya dapat menjadi sumber yang dapat digunakan untuk studi literatur. Berikut beberapa hal yang dapat digunakan untuk menopang penelitian ini:

1. Jurnal internasional sebagai studi kasus untuk menunjang kelayakan publikasi.
2. Pemahaman tentang *energy performance buildings*.
3. Perhitungan beban pemanasan dan beban pendinginan bangunan.
4. Metode *Support Vector Regression* (SVR).
5. Pemrograman menggunakan bahasa *PHP*.
6. Proses pengujian sistem.

### 3.2 Pengambilan dataset

Pada tahapan ini, *dataset* yang digunakan berupa *data dummy* yang ada pada penelitian sebelumnya yang berjudul "*Accurate Quantitative Estimation of Energy Performance of Residential Buildings using Statistical Machine Learning Tools*" (Tsanas & Xifara, 2012). Akan tetapi dibatasi dengan 3 parameter *input*, yakni *relative compactness*, *surface area*, *wall area*.

### 3.3 Perancangan sistem

Perancangan merupakan tahapan yang dilakukan sebelum menuliskan *source code* ke dalam bahasa pemrograman yang digunakan. Pada tahap perancangan penulis melakukan perhitungan manual untuk *sample data*, merancang antarmuka pengguna, dan membuat diagram alir langkah penyelesaian masalah.

### 3.4 Implementasi

Implementasi diterapkan sesuai perancangan yang telah disusun dalam tahap perancangan. Implementasi perangkat lunak dengan menggunakan bahasa pemrograman *PHP* dan alat pendukung lainnya. Berikut implementasi aplikasi yang dimaksud:

- Membuat antarmuka pengguna.
- Mengimplementasi algoritma / perhitungan SVR (*Support Vector Regression*).
- Implementasi akan menghasilkan nilai *Mean Absolute Percentage Error*.

### 3.5 Pengujian Sistem

Pengujian dalam penelitian ini dimaksudkan untuk menguji agar aplikasi yang telah dibuat mampu bekerja sesuai dengan yang diharapkan. Pengujian yang dilakukan melalui langkah – langkah sebagai berikut:

1. Pengujian untuk mengetahui apakah perangkat lunak yang dibuat dapat bekerja dengan baik tanpa galat.



2. Pengujian terhadap jumlah kesesuaian hasil keluaran aplikasi perangkat lunak dibandingkan dengan hasil pada dataset, bertujuan untuk menghitung tingkat akurasi.
3. Menghitung kesesuaian data hasil keluaran perangkat lunak untuk dibanding dataset guna mencari tingkat akurasinya.

### 3.6 Pengambilan Kesimpulan

Pengambilan kesimpulan dan saran untuk pengembangan penelitian selanjutnya dilakukan setelah perancangan, implementasi dan pengujian pada sistem selesai dilaksanakan. Kesimpulan diambil dari hasil pengujian sistem dan analisis. Saran diambil dengan tujuan memperbaiki dan menyempurnakan penelitian selanjutnya yang lebih baik.



## BAB 4 PERANCANGAN

Pada bab ini akan dibahas mengenai perancangan aplikasi sebagai langkah implementasi metode yang digunakan. Selain itu, juga terdapat rancangan-rancangan *flowchart* yang merupakan implementasi dari algoritma yang telah ditetapkan.

### 4.1 Formulasi Permasalahan

Permasalahan yang akan diselesaikan dalam penelitian ini adalah peramalan beban panas dan dingin bangunan dengan data masukan dari pengguna. Data tersebut diolah menggunakan algoritma *Support Vector Regression*, kemudian hasilnya berupa data beban panas dan dingin yang diramalkan dan rerata galat. Dua hasil tersebut akan digunakan untuk mendapatkan nilai evaluasi menggunakan persamaan *Mean Absolute Percentage Error(MAPE)*.

Sampel data yang digunakan berjumlah 130 data bangunan sebagaimana ditunjukkan pada Tabel 4.1 berikut: (data yang lengkap terdapat dalam Lampiran)

Tabel 4.1 Dataset

| RC   | SA  | WA  | HL | CL |
|------|-----|-----|----|----|
| 0,9  | 750 | 400 | 35 | 40 |
| 0,65 | 560 | 300 | 7  | 11 |
| 0,76 | 600 | 315 | 8  | 13 |
| 0,85 | 700 | 375 | 28 | 33 |
| 0,8  | 650 | 350 | 14 | 25 |
| 0,91 | 779 | 336 | 22 | 16 |
| 0,69 | 523 | 304 | 32 | 31 |
| 0,64 | 618 | 383 | 22 | 32 |
| 0,91 | 522 | 335 | 26 | 42 |
| 0,78 | 757 | 312 | 13 | 13 |
| 0,71 | 783 | 337 | 31 | 38 |
| 0,97 | 766 | 259 | 13 | 39 |
| 0,7  | 757 | 318 | 12 | 31 |

Dengan RC adalah nilai *Relative Compactness*, SA adalah *Surface Area*, WA adalah *Wall Area*, HL adalah *Heating Load*, dan CL adalah *Cooling Load*.

### 4.2 Perancangan Antarmuka Pengguna

Antarmuka sistem yang dibuat terdiri dari 2 halaman yakni halaman masukan dan halaman hasil perhitungan. Halaman masukan mengizinkan pengguna mengunggah data bangunan dan memasukkan nilai-nilai parameter SVR akan digunakan. Pada Gambar 4.1 ditunjukkan rancangan antarmuka data masukan sistem ini.



**PREDIKSI BEBAN PANAS DAN DINGIN BANGUNAN  
MENGGUNAKAN METODE SUPPORT VECTOR REGRESSION (SVR)**

Upload Excel

**1** Choose File **2** Nama File **+Tambahkan**

Inisialisasi Parameter

|                     |                             |                         |
|---------------------|-----------------------------|-------------------------|
| $\epsilon$ <b>3</b> | $C$ <b>3</b>                | $\lambda$ <b>3</b>      |
| cLR <b>3</b>        | Gamma ( $\gamma$ ) <b>3</b> | Jumlah Iterasi <b>3</b> |

**Gambar 4.1 Rancangan Antarmuka Data Masukan**

Keterangan:

1. Tombol pengunggah *file* dataset.
2. Tombol penambah setelah *file* dataset diunggah.
3. *Field* untuk memasukkan parameter SVR.

Halaman hasil perhitungan memiliki 2 menu yakni menu hasil dan menu perhitungan. Menu hasil menampilkan tabel *error rate* dan tabel denormalisasi, sedangkan menu perhitungan menampilkan tabel hasil perhitungan *sequential learning*. Gambar 4.2 menunjukkan rancangan antarmuka halaman hasil:

**PREDIKSI BEBAN PANAS DAN DINGIN BANGUNAN  
MENGGUNAKAN METODE SUPPORT VECTOR REGRESSION (SVR)**

**1** Perhitungan **2** Hasil

**3** Hasil **4** Error Rate

**5** Denormalisasi

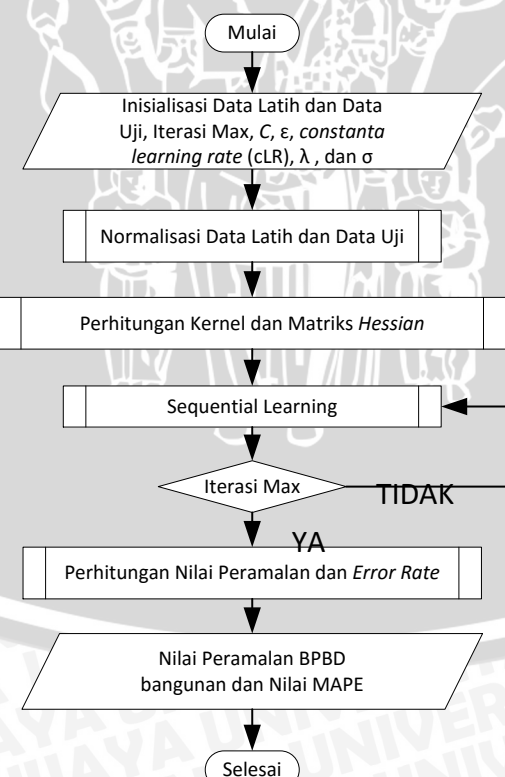
**Gambar 4.2 Rancangan Antarmuka Data Keluaran**

Keterangan:

1. Tombol untuk melihat halaman hasil yang berfokus pada tabel perhitungan *sequential learning*.
2. Tabel hasil perhitungan *sequential learning*.
3. Tombol melihat halaman hasil yang berfokus pada tabel *error rate* dan denormalisasi.
4. Tabel hasil perhitungan *error rate*.
5. Tabel hasil perhitungan denormalisasi.

### 4.3 Algoritma Support Vector Regression

Algoritma *Support Vector Regression* (SVR) adalah proses penyelesaian kasus menggunakan metode SVR. Kasus yang akan diselesaikan adalah prediksi beban panas dan beban dingin bangunan. Proses prediksi dimulai dengan membentuk model regresi, yang kemudian diuji untuk mendapatkan nilai *error*. Nilai galat atau *error* ini merupakan petunjuk tingkat akurasi dari model regresi yang telah terbentuk. Parameter yang digunakan dalam penelitian ini yaitu kompleksitas ( $C$ ), epsilon ( $\varepsilon$ ), *constanta learning rate* (*cLR*), lambda ( $\lambda$ ), dan sigma ( $\sigma$ ) untuk *Kernel Gaussian RBF*. Gambar 4.3 menunjukkan diagram alir peramalan beban panas dan dingin bangunan secara garis besar:



**Gambar 4.3 Diagram Alir Algoritma Support Vector Regression**

### 1. Proses Inisialisasi Parameter

Dari diagram alir pada Gambar 4.3 disebutkan bahwa langkah pertama adalah inisialisasi parameter dan data. Nilai parameter tersebut ditentukan secara eksplisit. Sedangkan inisialisasi data adalah proses memasukkan nilai data yang akan diolah. Pada Tabel 4.2 ditunjukkan inisialisasi parameter yang digunakan dalam perhitungan manual.

**Tabel 4.2 Inisialisasi Parameter SVR**

| $\epsilon$ | C  | $\lambda$ | CLR  | Gamma ( $\gamma$ ) | Sigma( $\sigma$ ) |
|------------|----|-----------|------|--------------------|-------------------|
| 0,001      | 10 | 0,1       | 0,32 | 0,316831683        | 2,0               |

### 2. Proses Pemilihan Fitur

Pada penelitian ini digunakan 10 data sekuensial dari urutan yang ada dalam dataset. Sepuluh data tersebut dibagi menjadi 2 kelompok data, data latih dan data uji. Pada Tabel 4.3 dan Tabel 4.4 ditunjukkan 2 kelompok data yang dimaksud.

**Tabel 4.3 Data Latih**

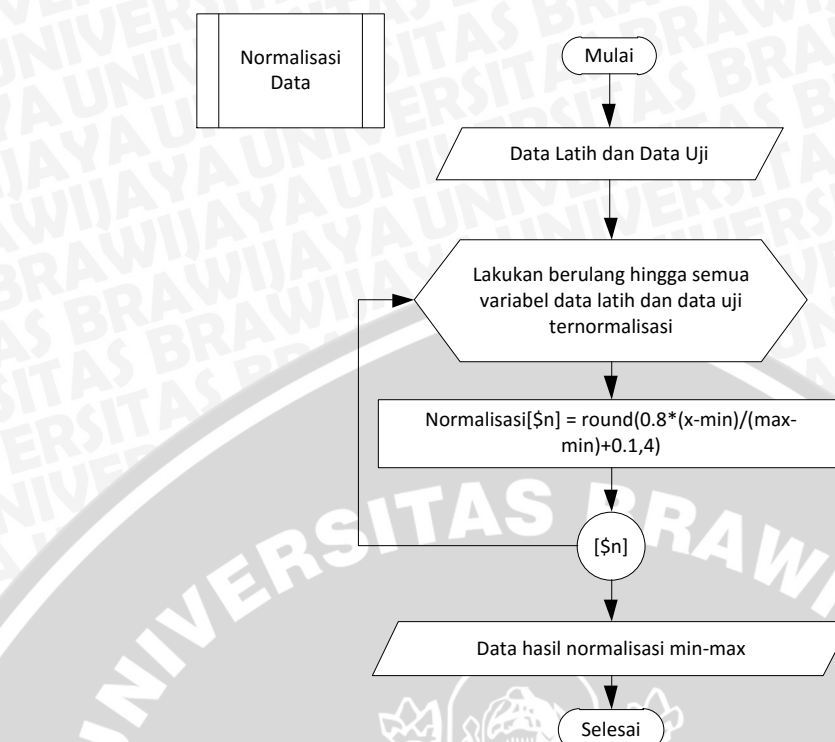
| No | relative compactness | surface area | wall area | heating load | cooling load |
|----|----------------------|--------------|-----------|--------------|--------------|
| 1  | 0.9                  | 750          | 400       | 35           | 40           |
| 2  | 0.65                 | 560          | 300       | 7            | 11           |
| 3  | 0.76                 | 600          | 315       | 8            | 13           |
| 4  | 0.85                 | 700          | 375       | 28           | 33           |
| 5  | 0.8                  | 650          | 350       | 14           | 25           |

**Tabel 4.4 Data Uji**

| No | relative compactness | surface area | wall area | heating load | cooling load |
|----|----------------------|--------------|-----------|--------------|--------------|
| 1  | 0.91                 | 779          | 336       | 22           | 16           |
| 2  | 0.69                 | 523          | 304       | 32           | 31           |
| 3  | 0.64                 | 618          | 383       | 22           | 32           |
| 4  | 0.91                 | 522          | 335       | 26           | 42           |
| 5  | 0.78                 | 757          | 312       | 13           | 13           |

### 3. Normalisasi Data

Data latih dan data uji yang telah didapat selanjutnya dinormalisasikan menggunakan metode *Min-Max*. Pada Gambar 4.4 ditunjukkan diagram alir proses normalisasi.



**Gambar 4.4 Diagram Alir Proses Perhitungan Normalisasi**

Dalam proses normalisasi, langkah pertama adalah mencari nilai minimum dan maksimum data. Berikut adalah contoh perhitungannya menggunakan persamaan (2.5):

$$x_1 = 0.8 * \left( \frac{x_1 - \text{Min}}{\text{Max} - \text{Min}} \right) + 0.1 = 0.8 * \left( \frac{40 - 11}{40 - 11} \right) + 0.1 = 0.9$$

Pada Tabel 4.5 dan Tabel 4.6 ditunjukkan hasil lengkap hasil normalisasi.

**Tabel 4.5 Hasil Normalisasi Data Latih**

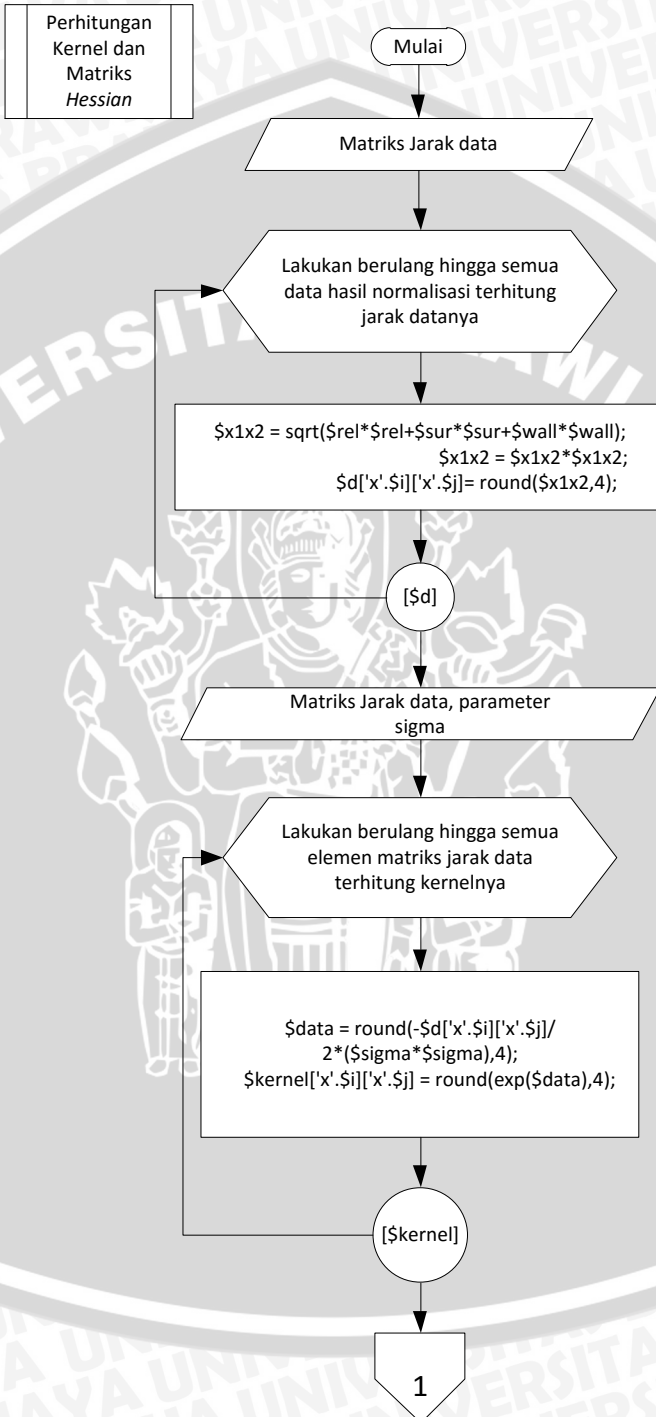
| No | relative compactness | surface area | wall area | heating load | cooling load |
|----|----------------------|--------------|-----------|--------------|--------------|
| 1  | 0.9                  | 0.9          | 0.9       | 0.9          | 0.9          |
| 2  | 0.1                  | 0.1          | 0.1       | 0.1          | 0.1          |
| 3  | 0.452                | 0.268421053  | 0.22      | 0.128571429  | 0.155172414  |
| 4  | 0.74                 | 0.689473684  | 0.7       | 0.7          | 0.706896552  |
| 5  | 0.58                 | 0.478947368  | 0.5       | 0.3          | 0.486206897  |

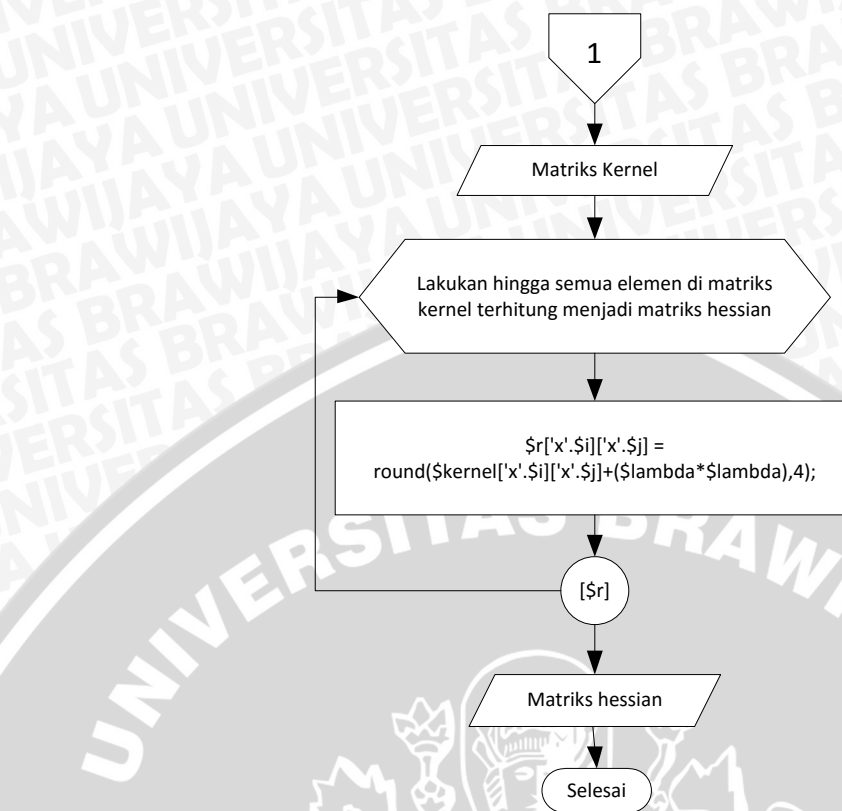
**Tabel 4.6 Hasil Normalisasi Data Uji**

| No | relative compactness | surface area | wall area   | heating load | cooling load |
|----|----------------------|--------------|-------------|--------------|--------------|
| 1  | 0.9                  | 0.9          | 0.424050633 | 0.478947368  | 0.182758621  |
| 2  | 0.248148148          | 0.10311284   | 0.1         | 0.9          | 0.596551724  |
| 3  | 0.1                  | 0.398832685  | 0.9         | 0.478947368  | 0.624137931  |
| 4  | 0.9                  | 0.1          | 0.413924051 | 0.647368421  | 0.9          |
| 5  | 0.514814815          | 0.83151751   | 0.181012658 | 0.1          | 0.1          |

#### 4. Proses Perhitungan *Kernel* dan Matriks *Hessian*

Setelah mendapatkan nilai hasil normalisasi, maka dilakukan perhitungan *Kernel* dan Matriks *Hessian*. *Kernel* yang digunakan adalah *kernel RBF*. Pada Gambar 4.5 ditunjukkan diagram alir kedua proses perhitungan tersebut:





**Gambar 4.5 Diagram Alir Perhitungan *Kernel* dan Matriks *Hessian***

Sebelum melakukan perhitungan *kernel*, perlu dilakukan perhitungan jarak data tiap elemen pada matriks tabel hasil normalisasi *min-max*. Berikut perhitungan manual jarak data latih ke -1 dan data latih ke -2 yang pertama kali dilakukan sebelum menghitung matriks *Hessian* menggunakan persamaan (2.9):

$$\|x_1 - x_2\|^2 = (0,9 - 0,1)^2 + (0,9 - 0,1)^2 + (0,9 - 0,1)^2 = 1,92$$

Setelah mendapatkan nilai jarak data, selanjutnya dilakukan perhitungan nilai *kernel* menggunakan persamaan (2.9):

$$K(x_i, x_j) = e^{-\|x_i - x_j\|^2 / 2\sigma^2} = e^{-(1.92)/2(2)^2} = 0,021493601$$

Tabel 4.7 merupakan hasil perhitungan jarak data latih, sedangkan Tabel 4.8 merupakan hasil perhitungan jarak data uji:

**Tabel 4.7 Matriks *Kernel* Data Latih**

| k  | x1          | x2          | x3          | x4          | x5          |
|----|-------------|-------------|-------------|-------------|-------------|
| x1 | 1           | 0.021493601 | 0.119553425 | 0.802645077 | 0.415044043 |
| x2 | 0.021493601 | 1           | 0.716527034 | 0.107082207 | 0.343694459 |
| x3 | 0.119553425 | 0.716527034 | 1           | 0.374839016 | 0.757137307 |
| x4 | 0.802645077 | 0.107082207 | 0.374839016 | 1           | 0.802645077 |
| x5 | 0.415044043 | 0.343694459 | 0.757137307 | 0.802645077 | 1           |

**Tabel 4.8 Matriks Kernel Data Uji**

| k  | x1          | x2          | x3          | x4          | x5          |
|----|-------------|-------------|-------------|-------------|-------------|
| x1 | 1           | 0.021493601 | 0.875222807 | 0.724214149 | 0.500403172 |
| x2 | 0.078123449 | 0.999941863 | 0.716527034 | 0.802645077 | 0.954226744 |
| x3 | 0.021493601 | 0.585197524 | 0.119553425 | 0.724214149 | 0.926003407 |
| x4 | 1           | 1           | 0.88651709  | 0.97409437  | 0.415044043 |
| x5 | 0.410571264 | 0.040328083 | 0.847733671 | 0.107082207 | 0.343694459 |

Setelah mendapatkan nilai *kernel*, selanjutnya dilakukan perhitungan Matriks *Hessian* menggunakan persamaan (2.8) seperti berikut:

$$[R]_{ij} = K(x_i, x_j) + \lambda^2 = 0,021493601 + (0,1)^2 = 0,031493601$$

Pada Tabel 4.9 dan Tabel 4.10 ditunjukkan hasil perhitungan matriks *Hessian* data latih dan data uji:

**Tabel 4.9 Matriks Hessian Data Latih**

| k  | x1          | x2          | x3          | x4          | x5          |
|----|-------------|-------------|-------------|-------------|-------------|
| x1 | 1.01        | 0.031493601 | 0.129553425 | 0.812645077 | 0.425044043 |
| x2 | 0.031493601 | 1.01        | 0.726527034 | 0.117082207 | 0.353694459 |
| x3 | 0.129553425 | 0.726527034 | 1.01        | 0.384839016 | 0.767137307 |
| x4 | 0.812645077 | 0.117082207 | 0.384839016 | 1.01        | 0.812645077 |
| x5 | 0.425044043 | 0.353694459 | 0.767137307 | 0.812645077 | 1.01        |

**Tabel 4.10 Matriks Hessian Data Uji**

| k  | x1          | x2          | x3          | x4          | x5          |
|----|-------------|-------------|-------------|-------------|-------------|
| x1 | 1.01        | 0.031493601 | 0.885222807 | 0.734214149 | 0.510403172 |
| x2 | 0.088123449 | 1.009941863 | 0.726527034 | 0.812645077 | 0.964226744 |
| x3 | 0.031493601 | 0.595197524 | 0.129553425 | 0.734214149 | 0.936003407 |
| x4 | 1.01        | 1.01        | 0.89651709  | 0.98409437  | 0.425044043 |
| x5 | 0.420571264 | 0.050328083 | 0.857733671 | 0.117082207 | 0.353694459 |

Setelah mendapatkan nilai matriks *Hessian*, selanjutnya dilakukan perhitungan besar nilai parameter gamma ( $\gamma$ ) untuk data latih menggunakan persamaan (2.10).

$$\gamma = \frac{cLR}{\max(\text{matriks Hessian})} = \frac{0,32}{1,01} = 0,316832$$

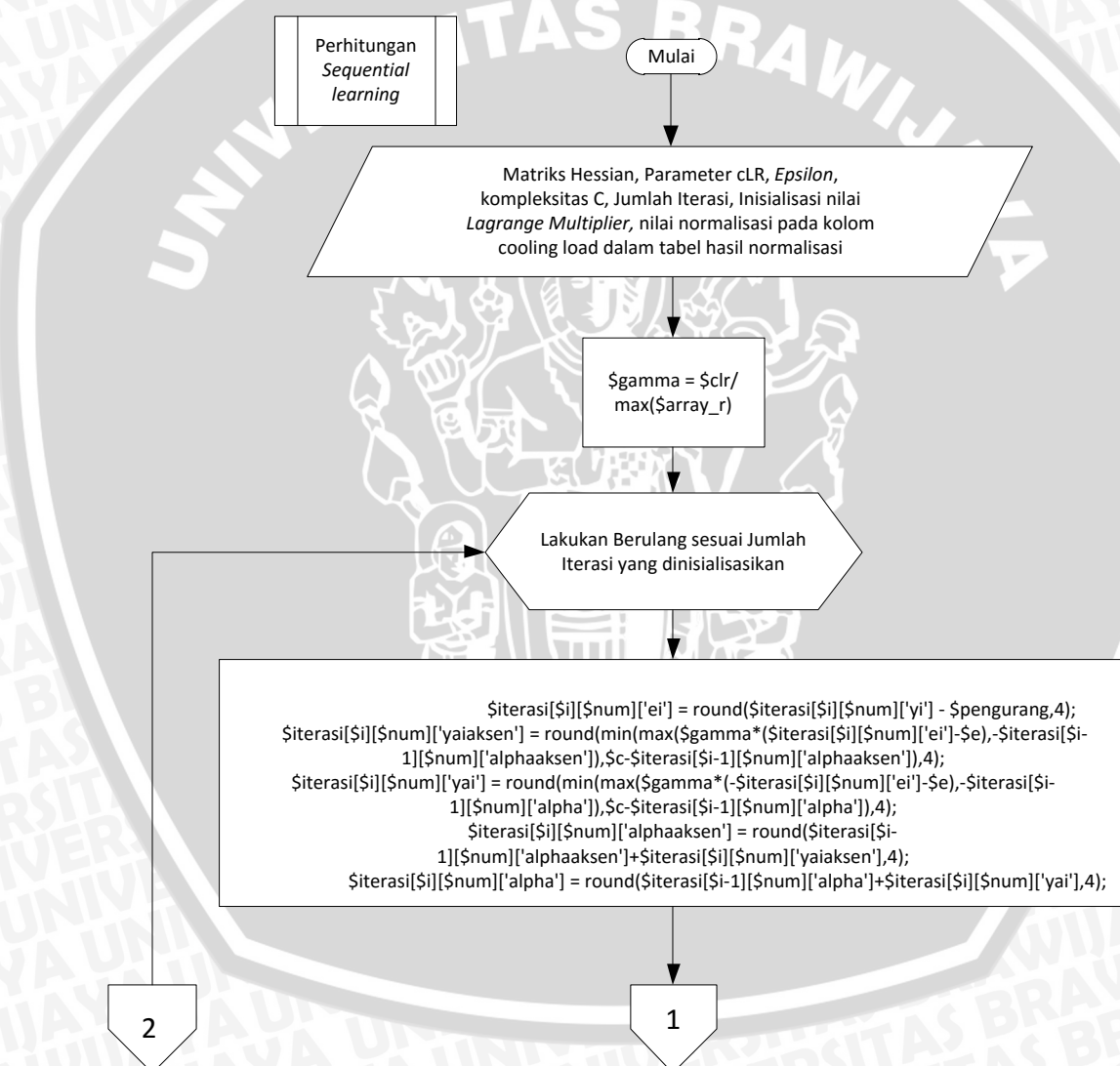
##### 5. Proses perhitungan *Sequential Learning*

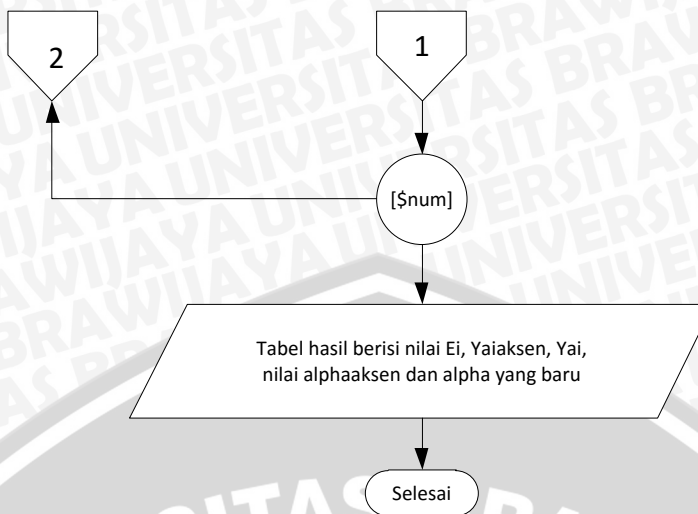
Tahapan ini dimulai dengan menginisialisasi nilai *Lagrange Multiplier* ( $\alpha_i^*$  dan  $\alpha_i$ ) sebesar 0. Nilai tersebut diinisialisasi sebanyak jumlah data latih, seperti yang ditunjukkan Tabel 4.11.

Tabel 4.11 Inisialisasi Nilai Lagrange Multiplier

| $\alpha_i^*$ | $\alpha_i$ |
|--------------|------------|
| 0            | 0          |
| 0            | 0          |
| 0            | 0          |
| 0            | 0          |
| 0            | 0          |

Setelah inisialisasi selesai dilakukan, maka dilakukan proses perhitungan secara berulang sesuai dengan jumlah iterasi yang diinisialisasikan di awal atau mencapai hingga menggapai batas  $\max(|\delta\alpha_i|) < \varepsilon$  dan  $\max(|\delta\alpha_i^*|) < \varepsilon$ . Proses perhitungan berulang ini ditunjukkan pada Gambar 4.6.



**Gambar 4.6 Diagram Alir Perhitungan Sequential Learning**

Perhitungan ini secara berurutan menggunakan persamaan (2.11), (2.12), (2.13), (2.14), dan (2.15). Berikut contoh menghitung nilai galat  $E_i$ ,  $\delta\alpha_i^*$ , dan  $\delta\alpha_i$  dan mencari nilai  $\alpha_i^*$  dan  $\alpha_i$  yang baru menggunakan data latih pertama:

$$\begin{aligned}
 E_1 &= y_1 - \sum_{j=1}^l (\alpha_j^* - \alpha_j) R_{1j} \\
 &= 0,9 - ((0 - 0)5 + (0 - 0)4,825306868 + (0 - 0)4,938042899 + \\
 &\quad (0 - 0)4,98906806 + (0 - 0)4,966592255) \\
 &= 0,900 \\
 \delta\alpha_1^* &= \min\{\max[\gamma(E_1 - \epsilon), -\alpha_1^*], C - \alpha_1^*\} \\
 &= \min\{\max[0,31683168(0.900 - 0.001), -0], 10 - 0\} \\
 &= \min\{\max[0,31683168(0.899)] 10\} \\
 &= 0,284831683 \\
 \delta\alpha_1 &= \min\{\max[\gamma(-E_1 - \epsilon), -\alpha_1], C - \alpha_1\} \\
 &= \min\{\max[0,31683168((-0.900) - 0.001), -0], 10 - 0\} \\
 &= \min\{\max[0,31683168(-0.901)] 10\} \\
 &= 0
 \end{aligned}$$

Lalu, dilakukan perhitungan untuk mencari nilai  $\alpha_i^*$  dan  $\alpha_i$  yang baru. Berikut perhitungan pada data latih ke -1:

$$\begin{aligned}
 \alpha_1^* &= \alpha_1^* + \delta\alpha_1^* = 0 + 0,284831683 = 0,284831683 \\
 \alpha_1 &= \alpha_1 + \delta\alpha_1 = 0 + 0 = 0
 \end{aligned}$$

Pada Tabel 4.12 dan Tabel 4.13 ditunjukkan secara lengkap hasil perhitungan manual pada proses *sequential learning* pada iterasi pertama dan iterasi ke-10:

**Tabel 4.12 Hasil Iterasi ke-1**

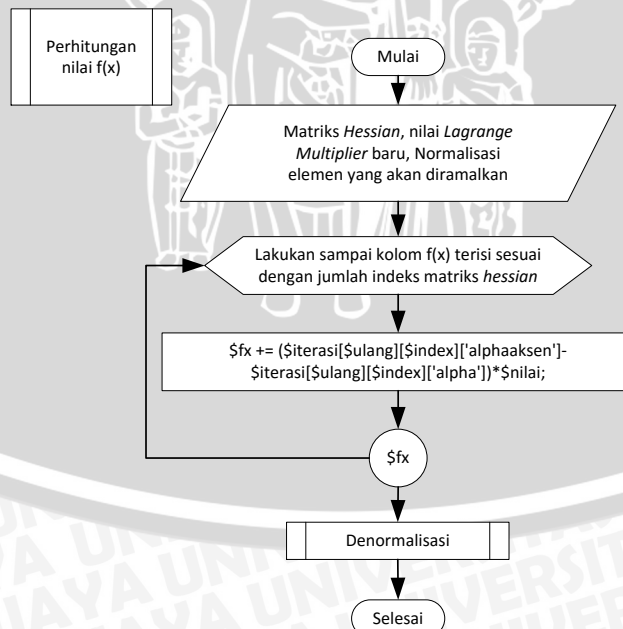
| $y_i$       | $E_i$ | $y\alpha^*$ | $y\alpha$ | $\alpha^*$ | $\alpha$ |
|-------------|-------|-------------|-----------|------------|----------|
| 0,9         | 0,900 | 0,284831683 | 0         | 0,284832   | 0        |
| 0,1         | 0,100 | 0,031366337 | 0         | 0,031366   | 0        |
| 0,155172414 | 0,155 | 0,048846705 | 0         | 0,048847   | 0        |
| 0,706896552 | 0,707 | 0,223650393 | 0         | 0,223650   | 0        |
| 0,486206897 | 0,486 | 0,153728918 | 0         | 0,153729   | 0        |

**Tabel 4.13 Hasil Iterasi ke-10**

| $y_i$       | $E_i$  | $y\alpha^*$  | $y\alpha$    | $\alpha^*$ | $\alpha$     |
|-------------|--------|--------------|--------------|------------|--------------|
| 0,9         | 0,026  | 0,00793193   | -0,008565594 | 0,595697   | -0,202853016 |
| 0,1         | 0,002  | 0,000332424  | -0,000966087 | 0,053404   | -0,040660642 |
| 0,155172414 | -0,034 | 0            | 0,010424004  | 0,000000   | 0,114866864  |
| 0,706896552 | -0,058 | -0,018600863 | 0,0179672    | 0,127862   | 0,122765247  |
| 0,486206897 | 0,023  | 0,006867914  | -0,007501577 | 0,149690   | -0,007823529 |

## 6. Proses Perhitungan Nilai Peramalan dan Nilai MAPE

Setelah mendapatkan nilai *Lagrange Multiplier* ( $\alpha_i^*$  dan  $\alpha_i$ ) yang baru, maka dilakukanlah proses perhitungan nilai peramalan menggunakan persamaan (2.16). Pada Gambar 4.7 ditunjukkan diagram alir proses perhitungan nilai peramalan:

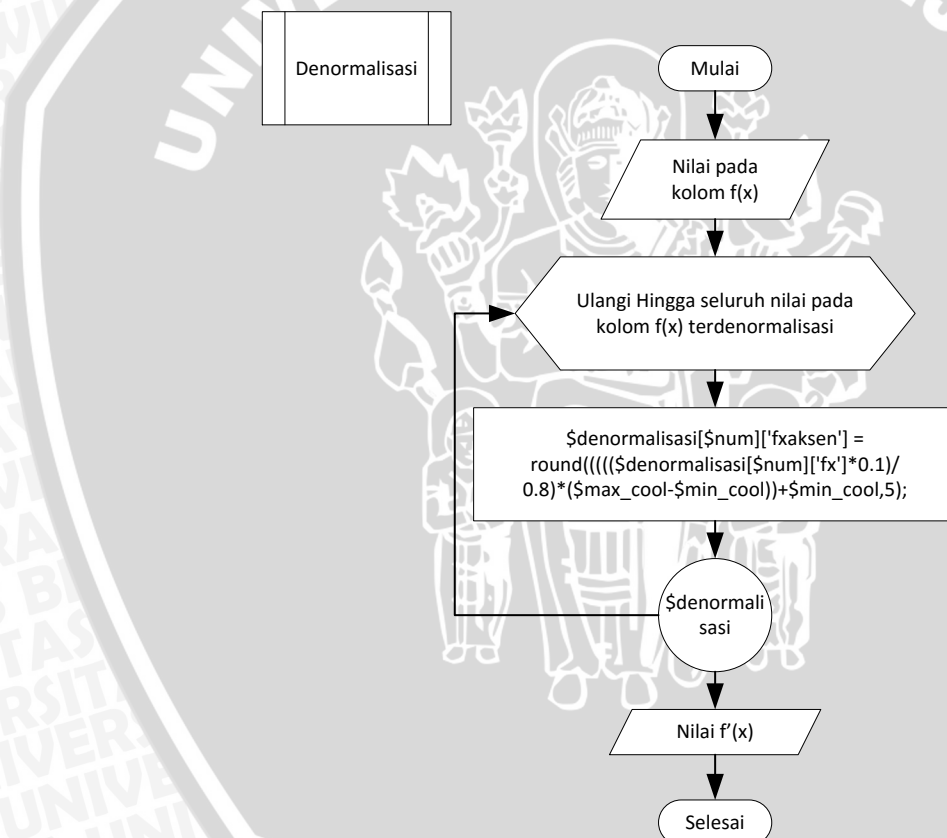


**Gambar 4.7 Diagram Alir Perhitungan Nilai Peramalan**

Sebagai contoh perhitungan manual nilai peramalan, peneliti menggunakan nilai *Lagrange Multiplier* ( $\alpha_i^*$  dan  $\alpha_i$ ) baru dalam indeks pertama Tabel 4.13. Berikut contoh perhitungan manual nilai peramalan:

$$\begin{aligned}
 f(x) &= \sum_{i=1}^l (\alpha_i^* - \alpha_i) (K(x_i, x) + \lambda^2) = \sum_{i=1}^l (\alpha_i^* - \alpha_i) R_{ij} \\
 &= (0,595697 - (-0,202853016))(1,01) \\
 &\quad + (0,053404 - (-0,040660642))(0,031493601) \\
 &\quad + (0 - 0,114866864)(0,129553426) \\
 &\quad + (0,127862 - 0,122765247)(0,812645076) \\
 &\quad + (0,149690 - (-0,007823529))(0,425044042) \\
 &= 0,8657
 \end{aligned}$$

Lalu, dilakukan proses denormalisasi setelah selesai menghitung nilai peramalan seperti pada Gambar 4.8.



Gambar 4.8 Diagram Alir Denormalisasi Nilai Peramalan

Nilai denormalisasi diperoleh dengan menggunakan persamaan (2.6), berikut contoh perhitungan manual denormalisasi:

$$\begin{aligned}
 X &= \frac{Y - B}{A - B} * (Max - Min) + Min \\
 &= \frac{0,8657 - 0,1}{0,9 - 0,1} * (40 - 11) + 11
 \end{aligned}$$

$$= 38,75693615$$

Hasil denormalisasi ( $f'(x)$ ) secara lengkap dapat dilihat pada Tabel 4.14 berikut:

**Tabel 4.14 Hasil Denormalisasi Nilai Peramalan**

| $f(x)$ | $f'(x)$     |
|--------|-------------|
| 0,8657 | 38,75693615 |
| 0,0930 | 10,74659324 |
| 0,1786 | 13,84838729 |
| 0,7489 | 34,5224865  |
| 0,4478 | 23,60779284 |

#### 4.4 Perancangan Skenario Pengujian

Perancangan ini dilakukan sebagai langkah untuk menguji hasil prediksi beban panas dan beban dingin bangunan dengan algoritma SVR. Skenario pengujian yang akan dilaksanakan diantaranya:

1. Pengujian jumlah iterasi SVR.
2. Pengujian nilai batas parameter CLR SVR.
3. Pengujian nilai batas parameter  $\lambda$  (*lambda*) SVR.
4. Pengujian nilai batas parameter C (*Complexity*) SVR.

Pengujian ini dilakukan sebagai langkah untuk mengetahui jumlah iterasi dan besar nilai parameter sesuai dengan dataset yang digunakan. Data latih dan data uji yang dilakukan dalam pengujian ini diambil dari dataset yang sama. Data latih dan data uji tersebut diambil dengan cara bergantian dengan jarak 13 interval baris dalam dataset yang digunakan. Contohnya untuk percobaan pertama, data latih yang digunakan adalah 10 urutan pertama data bangunan dalam dataset dan data uji yang digunakan adalah 3 urutan data bangunan setelah 10 data urutan pertama.

Lalu untuk percobaan kedua, data latih yang digunakan adalah 10 data berurutan setelah 3 urutan data yang digunakan dalam percobaan pertama menjadi data uji. Sedangkan data uji yang digunakan adalah 3 data berurutan setelah 10 urutan data yang sebelumnya digunakan sebagai data latih. Demikian seterusnya hingga percobaan ke-10. Skenario pengujian yang akan dilaksanakan diantaranya:

##### 4.4.1 Pengujian jumlah iterasi pelatihan SVR

Pengujian ini dilakukan untuk mencari jumlah iterasi SVR yang memberikan nilai *Lagrange Multiplier* ( $\alpha_i^*$  dan  $\alpha_i$ ) terbaik sehingga dapat memberikan hasil peramalan yang lebih baik. Pengujian ini menggunakan nilai parameter yang sama dan 10 variasi susunan data. Tabel 4.15 menunjukkan rancangan pengujian yang menggunakan sembilan varian jumlah iterasi dimana masing-masing varian diuji 10 kali.

**Tabel 4.15 Rancangan pengujian jumlah iterasi pelatihan SVR**

| Jumlah Iterasi | Error Rate    |   |   |   |   |   |   |   |   |    | Rerata Error Rate |  |
|----------------|---------------|---|---|---|---|---|---|---|---|----|-------------------|--|
|                | Percobaan ke- |   |   |   |   |   |   |   |   |    |                   |  |
|                | 1             | 2 | 3 | 4 | 5 | 6 | 7 | 8 | 9 | 10 |                   |  |
| 10             |               |   |   |   |   |   |   |   |   |    |                   |  |
| 50             |               |   |   |   |   |   |   |   |   |    |                   |  |
| 100            |               |   |   |   |   |   |   |   |   |    |                   |  |
| 500            |               |   |   |   |   |   |   |   |   |    |                   |  |
| 1000           |               |   |   |   |   |   |   |   |   |    |                   |  |
| 5000           |               |   |   |   |   |   |   |   |   |    |                   |  |
| 10000          |               |   |   |   |   |   |   |   |   |    |                   |  |
| 50000          |               |   |   |   |   |   |   |   |   |    |                   |  |
| 100000         |               |   |   |   |   |   |   |   |   |    |                   |  |

**4.4.2 Pengujian nilai batas parameter  $cLR$  SVR**

Pengujian ini dilakukan untuk mencari nilai terbaik  $cLR$  sehingga dapat memberikan hasil peramalan yang lebih baik. Pengujian ini menggunakan 10 variasi susunan data. Tabel 4.16 menunjukkan rancangan pengujian dengan sembilan varian nilai batas  $cLR$  dimana masing-masing varian nilai diuji 10 kali.

**Tabel 4.16 Rancangan pengujian nilai batas parameter  $cLR$  SVR**

| Nilai $cLR$ | Error Rate    |   |   |   |   |   |   |   |   |    | Rerata Error Rate |  |
|-------------|---------------|---|---|---|---|---|---|---|---|----|-------------------|--|
|             | Percobaan ke- |   |   |   |   |   |   |   |   |    |                   |  |
|             | 1             | 2 | 3 | 4 | 5 | 6 | 7 | 8 | 9 | 10 |                   |  |
| 0,0001      |               |   |   |   |   |   |   |   |   |    |                   |  |
| 0,0003      |               |   |   |   |   |   |   |   |   |    |                   |  |
| 0,001       |               |   |   |   |   |   |   |   |   |    |                   |  |
| 0,003       |               |   |   |   |   |   |   |   |   |    |                   |  |
| 0,01        |               |   |   |   |   |   |   |   |   |    |                   |  |
| 0,03        |               |   |   |   |   |   |   |   |   |    |                   |  |
| 0,1         |               |   |   |   |   |   |   |   |   |    |                   |  |
| 0,3         |               |   |   |   |   |   |   |   |   |    |                   |  |
| 1           |               |   |   |   |   |   |   |   |   |    |                   |  |

**4.4.3 Pengujian nilai batas parameter  $\lambda$  (*lambda*)**

Pengujian ini dilakukan untuk mencari nilai terbaik  $\lambda$  sehingga dapat memberikan hasil peramalan yang lebih baik. Pengujian ini menggunakan 10 variasi susunan data. Tabel 4.17 menunjukkan sembilan varian nilai batas  $\lambda$  dimana masing-masing varian nilai diuji 10 kali.

**Tabel 4.17 Rancangan pengujian nilai batas parameter  $\lambda$  (*lambda*)**

| Nilai $\lambda$ | Error Rate    |   |   |   |   |   |   |   |   |    | Rerata Error Rate |  |
|-----------------|---------------|---|---|---|---|---|---|---|---|----|-------------------|--|
|                 | Percobaan ke- |   |   |   |   |   |   |   |   |    |                   |  |
|                 | 1             | 2 | 3 | 4 | 5 | 6 | 7 | 8 | 9 | 10 |                   |  |
| 0,001           |               |   |   |   |   |   |   |   |   |    |                   |  |
| 0,005           |               |   |   |   |   |   |   |   |   |    |                   |  |
| 0,01            |               |   |   |   |   |   |   |   |   |    |                   |  |
| 0,05            |               |   |   |   |   |   |   |   |   |    |                   |  |
| 0,1             |               |   |   |   |   |   |   |   |   |    |                   |  |
| 0,5             |               |   |   |   |   |   |   |   |   |    |                   |  |
| 1               |               |   |   |   |   |   |   |   |   |    |                   |  |
| 5               |               |   |   |   |   |   |   |   |   |    |                   |  |
| 10              |               |   |   |   |   |   |   |   |   |    |                   |  |

#### 4.4.4 Pengujian nilai batas parameter $C$

Pengujian ini dilakukan untuk mencari jarak nilai terbaik  $C$  sehingga dapat memberikan hasil peramalan yang lebih baik. Pengujian ini menggunakan 10 variasi susunan data. Tabel 4.18 menunjukkan sembilan varian nilai dimana masing-masing varian nilai diuji 10 kali.

Tabel 4.18 Rancangan pengujian nilai batas parameter  $C$

| Nilai C | Error Rate    |   |   |   |   |   |   |   |    |  | Rerata Error Rate |
|---------|---------------|---|---|---|---|---|---|---|----|--|-------------------|
|         | Percobaan ke- |   |   |   |   |   |   |   |    |  |                   |
| 1       | 2             | 3 | 4 | 5 | 6 | 7 | 8 | 9 | 10 |  |                   |
| 0,05    |               |   |   |   |   |   |   |   |    |  |                   |
| 0,1     |               |   |   |   |   |   |   |   |    |  |                   |
| 0,5     |               |   |   |   |   |   |   |   |    |  |                   |
| 1       |               |   |   |   |   |   |   |   |    |  |                   |
| 5       |               |   |   |   |   |   |   |   |    |  |                   |
| 10      |               |   |   |   |   |   |   |   |    |  |                   |
| 50      |               |   |   |   |   |   |   |   |    |  |                   |
| 100     |               |   |   |   |   |   |   |   |    |  |                   |
| 500     |               |   |   |   |   |   |   |   |    |  |                   |



## BAB 5 IMPLEMENTASI

Pada bab ini akan dibahas implementasi sistem yang telah dirancang pada bab 4, Perancangan. Bagian yang menjadi pokok bahasan pada bab ini adalah implementasi *source code* dan implementasi antarmuka pengguna.

### 5.1 Implementasi *source code*

Aplikasi sistem prediksi beban pemanasan dan beban pendinginan bangunan menggunakan metode *support vector regression* diimplementasikan dengan bahasa *PHP*.

#### 5.1.1 Proses Normalisasi Data

Normalisasi dilakukan untuk menyederhanakan nilai data agar berada pada jarak 0 hingga 1. Metode normalisasi yang penulis gunakan adalah metode *minmax normalization*, proses perhitungan dalam *source code* disajikan pada Kode Program 5.1 berikut:

```
1 public function get_normalisasi($sintesis)
2 {
3     $min_rel = $this->mp->get_min_rel();
4     $max_rel = $this->mp->get_max_rel();
5
6     $min_sur = $this->mp->get_min_sur();
7     $max_sur = $this->mp->get_max_sur();
8
9     $min_wall = $this->mp->get_min_wall();
10    $max_wall = $this->mp->get_max_wall();
11
12    $min_heat = $this->mp->get_min_heat();
13    $max_heat = $this->mp->get_max_heat();
14
15    $min_cool = $this->mp->get_min_cool();
16    $max_cool = $this->mp->get_max_cool();
17
18    $n=1;
19    foreach ($sintesis as $key => $value) {
20        $normalisasi[$n]['rel'] = 0.8*((($value->rel-
21        $min_rel)/($max_rel-$min_rel))+0.1;
22        $normalisasi[$n]['sur'] = 0.8*((($value->sur-
23        $min_sur)/($max_sur-$min_sur))+0.1;
24        $normalisasi[$n]['wall'] = 0.8*((($value-
25        >wall-$min_wall)/($max_wall-$min_wall))+0.1;
26        $normalisasi[$n]['heat'] = 0.8*((($value-
27        >heat-$min_heat)/($max_heat-$min_heat))+0.1;
28        $normalisasi[$n]['cool'] = 0.8*((($value-
29        >cool-$min_cool)/($max_cool-$min_cool))+0.1;
30        $n++;
31    }
32    return $normalisasi;
33 }
```

Kode Program 5.1 Normalisasi Data

Penjelasan Kode Program 5.1 sebagai berikut :

1. Rel, sur, wall, heat, dan cool adalah singkatan dari nama variabel yang digunakan yakni *Relative compactness*, *Surface area*, *Wall area*, *Heating load*, dan *Cooling load*.
2. Baris 3-16 adalah proses mendapatkan nilai minimal dan maksimal pada tiap variabel.
3. Baris 18-31 adalah proses perhitungan normalisasi tiap variable menggunakan persamaan (2.5).
4. Baris 32 berfungsi mengembalikan nilai normalisasi tiap variabel.

### 5.1.2 Proses Perhitungan Kernel RBF

Fungsi *kernel* digunakan untuk memetakan data masukan ke dimensi yang lebih tinggi. Fungsi *kernel* yang digunakan adalah *kernel RBF*. Proses perhitungan dalam *source code* disajikan pada Kode Program 5.2 berikut:

```

1  public function get_kernel($normalisasi,$d,$sigma)
2  {
3      foreach ($normalisasi as $i => $value) {
4          foreach ($normalisasi as $j => $nilai) {
5              $data = -
6              $d['x' . $i]['x' . $j]/2*($sigma*$sigma);
7              $kernel['x' . $i]['x' . $j] = exp($data);
8          }
9      }
10     return $kernel;
11 }
```

### Kode Program 5.2 Perhitungan kernel RBF

Penjelasan Kode Program 5.2 sebagai berikut :

1. Baris 1 adalah inisialisasi matriks *kernel* sesuai dari matriks data hasil normalisasi.
2. Baris 3-7 adalah proses perhitungan *kernel* yang dijalankan berulang sampai semua index terisi oleh nilai hasil perhitungan *kernel*.
3. Baris 5-6 berfungsi untuk menghitung jarak data.
4. Baris 7 berfungsi untuk menghitung *kernel RBF*.
5. Baris 10 berfungsi untuk mengembalikan nilai *kernel* yang didapat.

### 5.1.3 Proses Perhitungan Matriks Hessian

Nilai yang diperlukan pada perhitungan matriks *Hessian* berasal dari nilai *kernel*. Proses perhitungan dalam *source code* disajikan pada Kode Program 5.3 berikut:

```

1  public function get_r($normalisasi,$kernel,$lambda)
2  {
3      foreach ($normalisasi as $i => $value) {
4          foreach ($normalisasi as $j => $nilai) {
5              $r['x' . $i]['x' . $j] =
6              $kernel['x' . $i]['x' . $j]+($lambda*$lambda);
7          }
8      }
```

|    |             |
|----|-------------|
| 9  | return \$r; |
| 10 | }           |

### Kode Program 5.3 Perhitungan matriks Hessian

Penjelasan Kode Program 5.3 sebagai berikut :

- Baris 1 adalah inisialisasi matriks *hessian* sesuai dengan nilai pada matriks *kernel* dan inisialisasi nilai lambda.
- Baris 3-7 adalah proses perhitungan matriks *hessian* yang dijalankan berulang sampai semua index terisi oleh nilai hasil perhitungan matriks *hessian*.

#### 5.1.4 Proses Sequential Learning

Fungsi *Sequential Learning* digunakan untuk mencari nilai *Lagrange Multiplier* ( $\alpha_i$  dan  $\alpha_i^*$ ). Dalam prosesnya, perhitungan dilakukan berulang sebanyak jumlah iterasi yang diinisialisasikan di awal. Proses perhitungan dalam *source code* disajikan pada Kode Program 5.4 berikut:

```

1  public function
2  get_iterasi($normalisasi,$r,$clr,$e,$c,$ulang)
3  {
4      foreach ($r as $key => $value) {
5          foreach ($value as $kunci => $nilai) {
6              $array_r[] = $nilai;
7          }
8      }
9
10     $gamma = $clr/max($array_r);
11
12     $alpha = 1;
13     foreach ($r as $key => $value) {
14         $iterasi[0][$alpha]['alphaaksen'] = 0;
15         $iterasi[0][$alpha]['alpha'] = 0;
16         $alpha++;
17     }
18
19     for ($i=1; $i <= $ulang; $i++) {
20         $num = 1;
21         foreach ($r as $key => $value) {
22             $iterasi[$i][$num]['yi'] =
23             $normalisasi[$num]['cool'];
24             $pengurang = 0;
25             $index=1;
26             foreach ($r['x'].$num as $kunci =>
27             $nilai) {
28                 $pengurang += ($iterasi[$i-
29                 1][$index]['alphaaksen']-$iterasi[$i-
30                 1][$index]['alpha'])*$nilai;
31                 $index++;
32             }
33
34             $iterasi[$i][$num]['ei'] =
35             $iterasi[$i][$num]['yi'] - $pengurang;
36             $iterasi[$i][$num]['yaiaksen'] =
37             min(max($gamma*($iterasi[$i][$num]['ei']-$e),-
38             $iterasi[$i-1][$num]['alphaaksen']),$c-$iterasi[$i-
39             1][$num]['alphaaksen']);

```



```
40     $iterasi[$i][$num]['yai'] =
41     min(max($gamma*(-$iterasi[$i][$num]['ei']-$e),-
42     $iterasi[$i-1][$num]['alpha']),$c-$iterasi[$i-
43     1][$num]['alpha']);
44             $iterasi[$i][$num]['alphaaksen'] =
45     $iterasi[$i-
46     1][$num]['alphaaksen']+$iterasi[$i][$num]['yaiaksen'];
47             $iterasi[$i][$num]['alpha'] =
48     $iterasi[$i-1][$num]['alpha']+$iterasi[$i][$num]['yai'];
49             $num++;
50         }
51     }
52 }
53 return $iterasi;
54 }
```

#### Kode Program 5.4 Sequential Learning

Penjelasan Kode Program 5.4 sebagai berikut:

1. Baris 2 adalah inisialisasi nilai jumlah iterasi, parameter cLR, parameter *epsilon*, parameter *C*, normalisasi nilai data yang akan diramalkan (*Yi*).
2. Baris 4-6 berfungsi menginisialisasi variabel *key* yang diisi oleh *array* dari kolom matriks *hessian*.
3. Baris 10 berfungsi menjalankan persamaan (2.10) untuk mencari nilai parameter *gamma*.
4. Baris 12-16 berfungsi menginisialisasi nilai  $\alpha_i^*$  dan  $\alpha_i$  yang akan digunakan.
5. Baris 19-50 berfungsi untuk menjalankan proses perhitungan *sequential learning* sebanyak jumlah iterasi yang diinisialisasikan.
6. Baris 19-27 berfungsi untuk menggunakan nilai normalisasi pada kolom “coolong load” pada matriks *hessian* sebagai nilai data yang akan diramalkan (*Yi*).
7. Baris 28-31 berfungsi menampilkan nilai  $\alpha_i^*$  dan  $\alpha_i^*$  yang baru setelah dihitung dalam baris 44-48.
8. Baris 34-35 menjalankan persamaan (2.11) yang berfungsi untuk mencari nilai  $E_i$ .
9. Baris 36-39 menjalankan persamaan (2.12) yang berfungsi untuk mencari nilai  $\delta\alpha_i^*$ .
10. Baris 40-43 menjalankan persamaan (2.13) yang berfungsi untuk mencari nilai  $\delta\alpha_i$ .
11. Baris 44-46 menjalankan persamaan (2.14) yang berfungsi untuk mencari nilai  $\alpha_i^*$  yang baru.
12. Baris 47-48 menjalankan persamaan (2.15) yang berfungsi untuk mencari nilai  $\alpha_i$  yang baru.

##### 5.1.5 Proses Perhitungan Fungsi Peramalan dan *Error Rate*

Proses perhitungan fungsi peramalan ( $f(x)$ ) membutuhkan nilai  $\alpha_i$  dan  $\alpha_i^*$  pada hasil iterasi terakhir dari proses perhitungan *sequential*

learning. Proses perhitungan dalam *source code* disajikan pada Kode Program 5.5 berikut:

```
1 public function
2     get_error_rate($normalisasi,$r,$iterasi,$ulang)
3     {
4         $num=1;
5         foreach ($r as $key => $value) {
6             $error_rate[$num]['yi'] =
7             round($normalisasi[$num]['cool'],5);
8             $fx=0;
9             $index=1;
10            foreach ($r['x'].$num] as $kunci => $nilai) {
11                $fx +=
12                ($iterasi[$ulang][$index]['alphaaksen']-
13                 $iterasi[$ulang][$index]['alpha'])*$nilai;
14                $index++;
15            }
16            $error_rate[$num]['fx'] = round($fx,5);
17            $error_rate[$num]['ei'] = round($fx-
18            $error_rate[$num]['yi'],5);
19            $error_rate[$num]['ei/yi'] =
20            round(abs($error_rate[$num]['ei'])/$error_rate[$num]['yi']
21            ),5);
22            $num++;
23        }
24    }
25 }
```

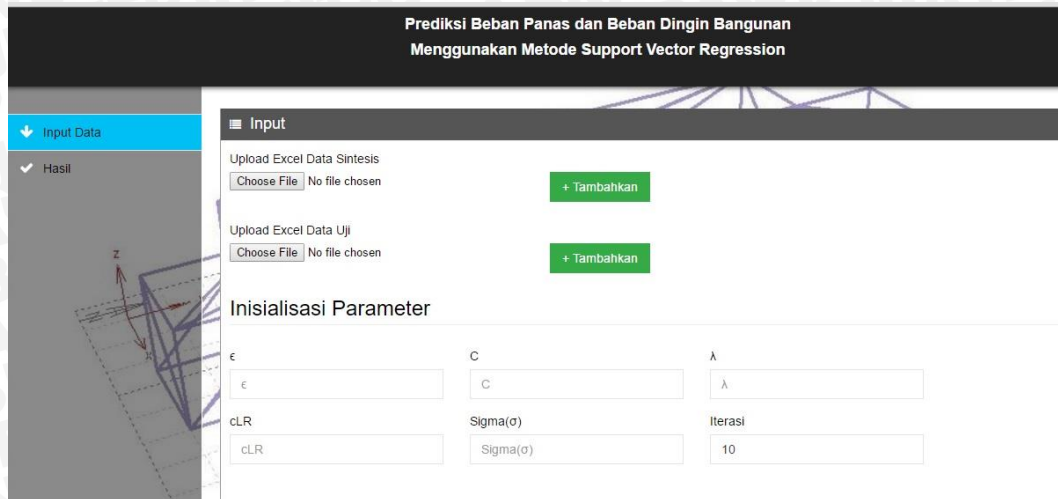
#### Kode Program 5.5 Perhitungan Error Rate

Penjelasan Kode Program 5.5 sebagai berikut:

1. Baris 2 adalah inisialisasi nilai variabel normalisasi, matriks *hessian*, dan jumlah iterasi.
2. Baris 4-24 adalah proses perhitungan *Error Rate*.
3. Baris 4-7 berfungsi menginisialisasi variabel key yang berisi nilai normalisasi pada kolom “coolong load” pada matriks *hessian* sebagai nilai data yang akan diramalkan (*Yi*), kemudian dibulatkan menjadi 5 angka dibelakang koma.
4. Baris 8-14 berfungsi melakukan perhitungan nilai peramalan  $f(x)$ .
5. Baris 16 berfungsi untuk membulatkan nilai peramalan  $f(x)$  menjadi 5 angka dibelakang koma.
6. Baris 17-18 berfungsi untuk menghitung nilai *Ei* dan kemudian membulatkan menjadi 5 angka di belakang koma.
7. Baris 19-21 berfungsi untuk menghitung nilai *Ei/Yi* dan kemudian membulatkan menjadi 5 angka di belakang koma.

## 5.2 Implementasi Antarmuka Pengguna

Antarmuka dari aplikasi sistem prediksi beban panas dan dingin bangunan terdiri dari beberapa menu. Menu utama berisikan data masukan seperti tombol mengunggah data latih dan data uji spesifikasi bangunan dan beberapa *input* parameter SVR seperti pada Gambar 5.1 berikut:



Gambar 5.1 Antarmuka Utama *Input Data* dan *Parameter*

Beberapa parameter yang digunakan seperti *epsilon*( $\epsilon$ ), *C*, *lambda*( $\lambda$ ), *cLR*, *sigma*( $\sigma$ ), *gamma*( $\gamma$ ), dan jumlah iterasi dapat diinisialisasikan di awal sebelum melakukan proses perhitungan.

The screenshot shows a user interface titled "Prediksi Beban Panas dan Beban Dingin Bangunan Menggunakan Metode Support Vector Regression". On the left, a sidebar has "Hasil" selected. The main area contains two sections: "Perhitungan" and "Hasil". The "Perhitungan" section has a "Hasil" button. The "Hasil" section displays a table titled "Error Rate". The table has four columns:  $y_i$ ,  $f(x)$ ,  $E_i$ , and  $|E_i| / y_i$ . The data rows are:

| $y_i$  | $f(x)$ | $E_i$   | $ E_i  / y_i$ |
|--------|--------|---------|---------------|
| 0.9    | 0.8317 | -0.0683 | 0.0759        |
| 0.1    | 0.0808 | -0.0192 | 0.192         |
| 0.1552 | 0.1731 | 0.0179  | 0.1153        |
| 0.7069 | 0.7441 | 0.0372  | 0.0526        |
| 0.4862 | 0.455  | -0.0312 | 0.0642        |
| TOTAL  |        |         | 0.5           |
| MAPE   |        |         | 8.3333        |

Gambar 5.2 Tampilan Hasil Perhitungan dan *Error Rate*

Pada Gambar 5.2 terlihat hasil perhitungan *Error Rate* yang merupakan hasil perhitungan setelah iterasi berjalan sesuai dengan nilai yang dimasukkan dalam kolom jumlah iterasi pada menu utama. Untuk melihat perhitungan saat iterasi berjalan dapat dilakukan dengan menekan tombol perhitungan di atas tombol hasil.

## BAB 6 PENGUJIAN DAN ANALISIS

Pada bab ini akan dibahas tahapan pengujian dan analisis sistem prediksi beban pemanasan dan beban pendinginan bangunan menggunakan metode *support vector regression*. Proses pengujian yang dilakukan terdiri dari pengujian Jumlah Iterasi SVR, pengujian nilai batas parameter *cLR*. Selanjutnya hasil dari pengujian akan dianalisa dengan harapan menghasilkan kesimpulan yang kuat.

### 6.1 Hasil dan Analisis Pengujian Jumlah Iterasi Pelatihan

Jumlah iterasi SVR untuk pelatihan yang diuji adalah 50, 100, 500, 1000, 5000, 10000, 50000, 100000, 500000 sesuai dengan perancangan pada Bab 4. Berikut penulis sajikan informasi detail tentang parameter lain yang digunakan dalam proses pengujian jumlah iterasi SVR:

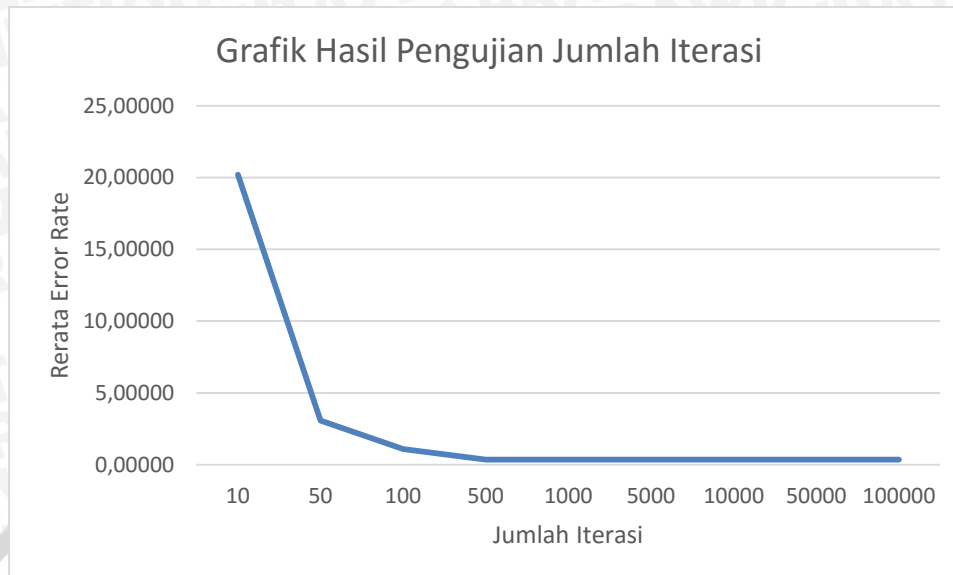
- a. Nilai  $\varepsilon$  : 0.001
- b. Nilai  $cLR$  : 0.32
- c. Nilai  $C$  : 10
- d. Nilai  $\lambda$  : 0.1
- e. Nilai  $\sigma$  : 2
- f. Jumlah data Latih : 100 data bangunan
- g. Jumlah data Uji : 30 data bangunan

Hasil pengujian jumlah iterasi pelatihan secara lengkap ditunjukkan pada Tabel 6.1 berikut:

**Tabel 6.1 Hasil pengujian jumlah iterasi pelatihan**

| Jumlah Iterasi | Error Rate    |         |          |         |          |          |          |          |         |          | Rerata Error Rate |  |
|----------------|---------------|---------|----------|---------|----------|----------|----------|----------|---------|----------|-------------------|--|
|                | Percobaan ke- |         |          |         |          |          |          |          |         |          |                   |  |
|                | 1             | 2       | 3        | 4       | 5        | 6        | 7        | 8        | 9       | 10       |                   |  |
| 10             | 8,32170       | 6,77950 | 23,31483 | 8,05600 | 52,95383 | 27,72267 | 21,87933 | 37,84650 | 5,00350 | 10,09500 | 20,19729          |  |
| 50             | 5,24483       | 0,37850 | 4,61817  | 0,68550 | 5,36750  | 3,64467  | 0,49400  | 8,00200  | 0,58167 | 1,75883  | 3,07757           |  |
| 100            | 4,01233       | 0,33100 | 1,76617  | 0,30783 | 0,66183  | 0,73417  | 0,28533  | 1,63033  | 0,33933 | 0,85933  | 1,09277           |  |
| 500            | 0,66050       | 0,33100 | 0,13317  | 0,30867 | 0,43533  | 0,33117  | 0,24450  | 0,42667  | 0,32417 | 0,39133  | 0,35865           |  |
| 1000           | 0,36350       | 0,33100 | 0,29983  | 0,30867 | 0,43533  | 0,35367  | 0,24900  | 0,42667  | 0,32583 | 0,39133  | 0,34848           |  |
| 5000           | 0,35033       | 0,33100 | 0,29983  | 0,30867 | 0,43533  | 0,35367  | 0,24900  | 0,42667  | 0,32583 | 0,39133  | 0,34717           |  |
| 10000          | 0,35033       | 0,33100 | 0,29983  | 0,30867 | 0,43533  | 0,35367  | 0,24900  | 0,42667  | 0,32583 | 0,39133  | 0,34717           |  |
| 50000          | 0,35033       | 0,33100 | 0,29983  | 0,30867 | 0,43533  | 0,35367  | 0,24900  | 0,42667  | 0,32583 | 0,39133  | 0,34717           |  |
| 100000         | 0,35033       | 0,33100 | 0,29983  | 0,30867 | 0,43533  | 0,33117  | 0,24900  | 0,42667  | 0,32583 | 0,39133  | 0,34492           |  |

Jumlah iterasi pelatihan SVR berpengaruh pada tingkat akurasi SVR yang dihasilkan. Tabel 6.1 menunjukkan rata-rata *error rate* terkecil didapatkan pada 100000 iterasi SVR dengan nilai 0.34492. Grafik pada Gambar 6.1 menunjukkan rerata *error rate* yang cenderung menurun, dan apabila dicermati detail pada setiap percobaan pada Tabel 6.1 nilai *error rate* yang didapat cenderung menurun sampai pada jumlah iterasi maksimal tertentu kemudian menjadi konstan.



Gambar 6.1 Grafik Rerata Error Rate Pengujian Jumlah Iterasi

## 6.2 Hasil dan Analisis Pengujian Nilai Batas Parameter $\lambda$ (*lambda*)

Nilai jarak (*Nilai*) parameter  $\lambda$  (*lambda*) adalah 0 . Berikut penulis sajikan informasi detail tentang parameter lain yang digunakan dalam proses pengujian jumlah iterasi SVR:

- a. Nilai **cLR** : 0,32
- b. Nilai  $\varepsilon$  : 0,001
- c. Nilai  $C$  : 10
- d. Nilai  $\sigma$  : 2
- e. Iterasi SVR : 5000
- f. Jumlah data Latih : 10 data bangunan
- g. Jumlah data Uji : 3 data bangunan

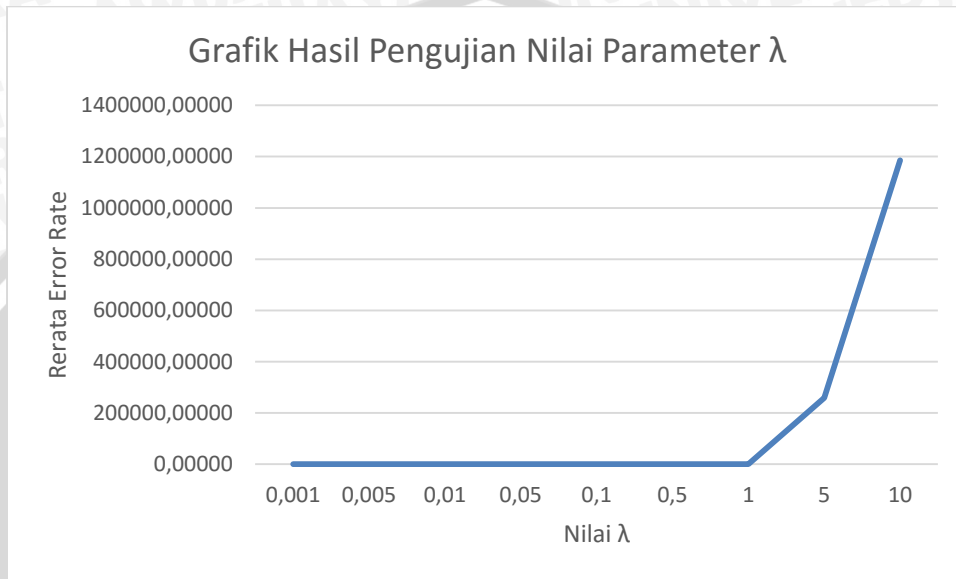
Hasil pengujian ditunjukkan pada Tabel 6.2 berikut:

Tabel 6.2 Hasil pengujian batas nilai parameter  $\lambda$  (*lambda*)

| Nilai $\lambda$ | Error Rate    |               |               |               |         |               |               |               |         |               | Rerata Error Rate |  |
|-----------------|---------------|---------------|---------------|---------------|---------|---------------|---------------|---------------|---------|---------------|-------------------|--|
|                 | Percobaan ke- |               |               |               |         |               |               |               |         |               |                   |  |
|                 | 1             | 2             | 3             | 4             | 5       | 6             | 7             | 8             | 9       | 10            |                   |  |
| 0,001           | 0,35033       | 0,33100       | 0,29983       | 0,30867       | 0,43533 | 0,35367       | 0,24900       | 0,42667       | 0,32583 | 0,39133       | 0,34717           |  |
| 0,005           | 0,35033       | 0,33100       | 0,29983       | 0,30867       | 0,43533 | 0,35367       | 0,24900       | 0,42667       | 0,32583 | 0,39133       | 0,34717           |  |
| 0,01            | 0,35033       | 0,33100       | 0,29983       | 0,30867       | 0,43533 | 0,35367       | 0,24900       | 0,42667       | 0,32583 | 0,39133       | 0,34717           |  |
| 0,05            | 0,35033       | 0,33100       | 0,29983       | 0,30867       | 0,43533 | 0,35367       | 0,24900       | 0,42667       | 0,32583 | 0,39133       | 0,34717           |  |
| 0,1             | 0,35033       | 0,33100       | 0,29983       | 0,30867       | 0,43533 | 0,35367       | 0,24900       | 0,42667       | 0,32583 | 0,39133       | 0,34717           |  |
| 0,5             | 0,35033       | 0,33100       | 0,29983       | 0,30867       | 0,43533 | 0,35367       | 0,24900       | 0,42667       | 0,32583 | 0,39133       | 0,34717           |  |
| 1               | 0,35033       | 0,33100       | 0,29983       | 0,30867       | 0,43533 | 0,35367       | 0,24900       | 0,42667       | 0,32583 | 0,39133       | 0,34717           |  |
| 5               | 1,61900       | 0,33100       | 383238,24283  | 393963,43150  | 0,43717 | 451217,33200  | 316537,93800  | 543804,47300  | 0,32933 | 498341,82533  | 258710,59592      |  |
| 10              | 3,64400       | 1662420,04100 | 1507497,49283 | 1551068,59050 | 5,50017 | 1777568,70083 | 1250227,64633 | 2143995,38217 | 0,65933 | 1966595,79367 | 1185938,34508     |  |

Parameter ini berpengaruh terhadap penskalaan pemetaan *kernel* dalam SVR. Semakin tinggi nilai parameter ini maka semakin baik nilai evaluasi yang

diberikan pada kasus regresi, namun beresiko memiliki waktu komputasi yang lama. Hal itu disebabkan karena konvergensi yang melambat seiring dengan proses *learning* yang kurang stabil (Vijayakumar & Wu, 1999). Tabel 6.2 menunjukkan rata-rata *error rate* terkecil didapatkan pada rentang nilai  $\lambda$  0,001-1 dengan nilai 0,34717. Pada Gambar 6.2 ditunjukkan terjadi peningkatan tajam ketika nilai  $\lambda = 5$ .



Gambar 6.2 Grafik Rerata *Error Rate* Pengujian Nilai  $\lambda$

### 6.3 Hasil dan Analisis Pengujian Nilai Batas Parameter *cLR*

Nilai parameter *cLR* (laju pembelajaran) yang diuji sesuai dengan perancangan yang telah dibuat pada Bab 4. Rincian parameter lainnya yang digunakan pada proses pengujian ini adalah sebagai berikut:

- a. Nilai  $\lambda$  : 0,1
- b. Nilai  $\varepsilon$  : 0,001
- c. Nilai  $C$  : 10
- d. Nilai  $\sigma$  : 2
- e. Iterasi SVR : 5000
- f. Jumlah data Latih : 10 data bangunan
- g. Jumlah data Uji : 3 data bangunan

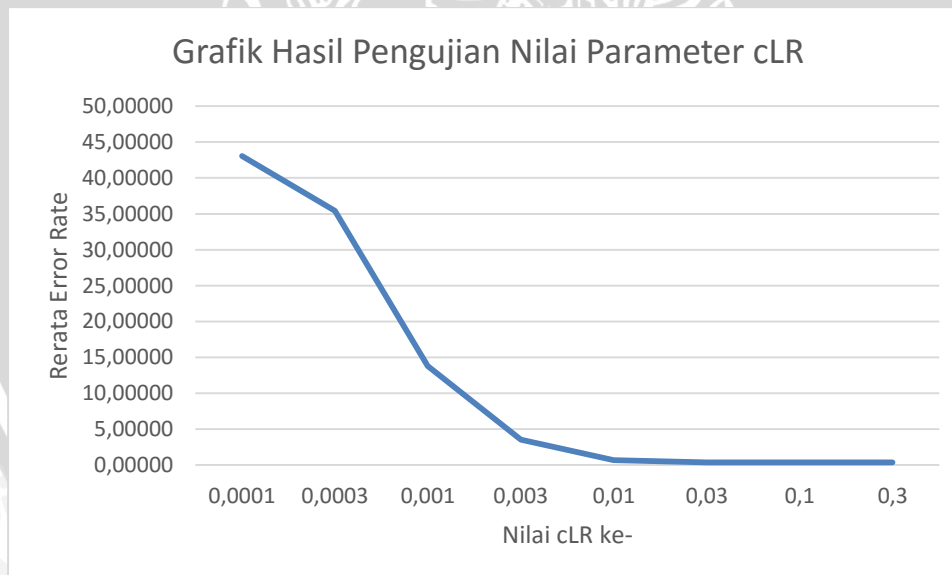
Pengujian *cLR* (laju pembelajaran) dilakukan sebanyak 10 kali untuk setiap nilai yang diujikan. Hasil pengujian ditunjukkan pada Tabel 6.3 berikut:



**Tabel 6.3 Hasil pengujian nilai parameter *cLR***

| Nilai <i>cLR</i> | Error Rate    |            |            |            |             |            |            |             |          |            | Rerata Error Rate |  |
|------------------|---------------|------------|------------|------------|-------------|------------|------------|-------------|----------|------------|-------------------|--|
|                  | Percobaan ke- |            |            |            |             |            |            |             |          |            |                   |  |
|                  | 1             | 2          | 3          | 4          | 5           | 6          | 7          | 8           | 9        | 10         |                   |  |
| 0,0001           | 22,31750      | 39,01000   | 56,17183   | 38,21450   | 72,94183    | 41,39683   | 53,67700   | 57,63783    | 27,57383 | 21,43783   | 43,03790          |  |
| 0,0003           | 13,45900      | 22,73367   | 47,09133   | 20,33767   | 80,17000    | 39,36650   | 42,27300   | 51,68317    | 16,35417 | 20,64500   | 35,41135          |  |
| 0,001            | 6,72183       | 3,71183    | 13,60317   | 5,28333    | 38,93200    | 16,96850   | 12,71317   | 30,23117    | 3,45700  | 6,13817    | 13,77602          |  |
| 0,003            | 5,36350       | 0,45350    | 4,99433    | 0,83983    | 6,88650     | 4,31933    | 0,68100    | 9,26633     | 0,69883  | 1,95383    | 3,54570           |  |
| 0,01             | 2,97517       | 0,33100    | 0,67883    | 0,31033    | 0,39233     | 0,37600    | 0,25983    | 0,58600     | 0,30850  | 0,55000    | 0,67680           |  |
| 0,03             | 0,73217       | 0,33100    | 0,13417    | 0,30867    | 0,43533     | 0,33117    | 0,24550    | 0,42667     | 0,32417  | 0,39133    | 0,36602           |  |
| 0,1              | 0,35067       | 0,33100    | 0,29983    | 0,30867    | 0,43533     | 0,35367    | 0,24900    | 0,42667     | 0,32583  | 0,39133    | 0,34720           |  |
| 0,3              | 0,35033       | 0,33100    | 0,29983    | 0,30867    | 0,43533     | 0,35367    | 0,24900    | 0,42667     | 0,32583  | 0,39133    | 0,34717           |  |
| 1                | 9396,74167    | 7479,05300 | 8635,06100 | 8415,99233 | 10050,71200 | 9443,72250 | 5432,52733 | 10260,86200 | 0,32583  | 9119,60333 | 7823,46010        |  |

Parameter *cLR* yang merupakan konstanta laju pembelajaran akan memberikan nilai *error rate* yang kecil apabila memiliki nilai yang kecil, namun proses *learning* akan melambat. Sedangkan jika parameter *cLR* memiliki nilai yang besar maka proses *learning* akan semakin cepat namun riskan memberikan hasil *error rate* yang buruk (Vijayakumar & Wu, 1999). Hasil pengujian menunjukkan bahwa pada parameter *cLR* yang bernilai 0,3 nilai *error rate* terkecil yang bernilai 0,34717. Saat nilai *cLR*  $1 \times 10^{-3}$  terjadi penurunan tajam pada perolehan rerata *error rate*, hal tersebut ditunjukkan pada Gambar 6.3 berikut:

**Gambar 6.3 Grafik Rerata *Error Rate* Pengujian Nilai *cLR***

#### 6.4 Hasil dan Analisis Pengujian Nilai Batas Parameter C

Nilai parameter *C* (*Complexity*) yang diuji sesuai dengan perancangan yang telah dibuat pada Bab 4. Rincian parameter lainnya yang digunakan pada proses pengujian ini adalah sebagai berikut:

- a. Nilai *cLR* : 0,32

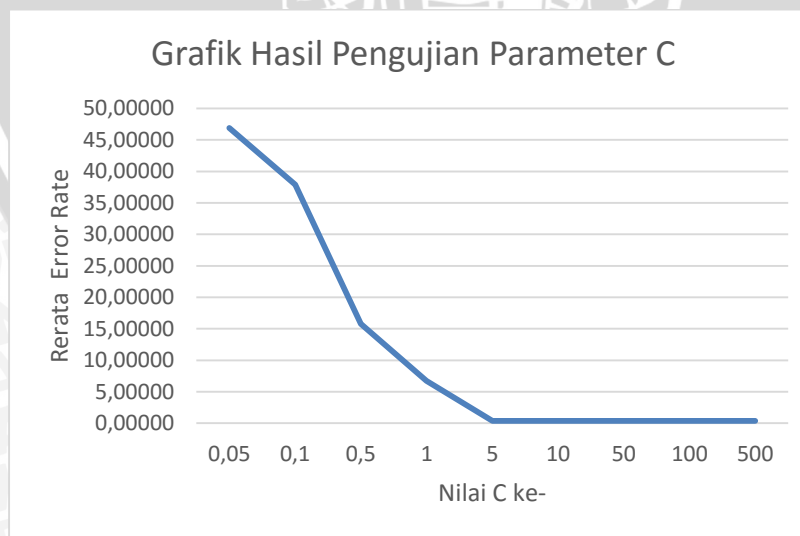
- b. Nilai  $\varepsilon$  : 0.001
- c. Nilai  $\lambda$  : 0.1
- d. Nilai  $\sigma$  : 2
- e. Iterasi SVR : 5000
- f. Jumlah data Latih : 10 data bangunan
- g. Jumlah data Uji : 3 data bangunan

Pengujian  $C$  (*Complexity*) dilakukan sebanyak 10 kali untuk setiap nilai yang diujikan. Hasil pengujianannya ditunjukkan pada Tabel 6.4 berikut:

**Tabel 6.4 Hasil pengujian nilai parameter C**

| Nilai C | Error Rate    |          |          |          |          |          |          |          |          |          | Rerata Error Rate |  |
|---------|---------------|----------|----------|----------|----------|----------|----------|----------|----------|----------|-------------------|--|
|         | Percobaan ke- |          |          |          |          |          |          |          |          |          |                   |  |
|         | 1             | 2        | 3        | 4        | 5        | 6        | 7        | 8        | 9        | 10       |                   |  |
| 0,05    | 40,12150      | 51,51700 | 53,06167 | 51,02283 | 41,22300 | 40,95567 | 57,93483 | 45,19667 | 49,94900 | 38,15133 | 46,91335          |  |
| 0,1     | 31,83250      | 43,73517 | 47,45283 | 42,47150 | 37,43917 | 31,76167 | 51,35650 | 37,79850 | 34,97017 | 20,28417 | 37,91022          |  |
| 0,5     | 4,39683       | 38,31650 | 15,55317 | 2,10833  | 19,40300 | 10,49450 | 13,22583 | 42,07233 | 2,17600  | 10,15267 | 15,78992          |  |
| 1       | 2,99600       | 0,33100  | 5,13433  | 0,30867  | 14,67583 | 6,21483  | 0,24900  | 36,28000 | 0,35183  | 0,67000  | 6,72115           |  |
| 5       | 0,35033       | 0,33100  | 0,29983  | 0,30867  | 0,43533  | 0,35367  | 0,24900  | 0,42667  | 0,32583  | 0,39133  | 0,34717           |  |
| 10      | 0,35033       | 0,33100  | 0,29983  | 0,30867  | 0,43533  | 0,35367  | 0,24900  | 0,42667  | 0,32583  | 0,39133  | 0,34717           |  |
| 50      | 0,35033       | 0,33100  | 0,29983  | 0,30867  | 0,43533  | 0,35367  | 0,24900  | 0,42667  | 0,32583  | 0,39133  | 0,34717           |  |
| 100     | 0,35033       | 0,33100  | 0,29983  | 0,30867  | 0,43533  | 0,35367  | 0,24900  | 0,42667  | 0,32583  | 0,39133  | 0,34717           |  |
| 500     | 0,35033       | 0,33100  | 0,29983  | 0,30867  | 0,43533  | 0,35367  | 0,24900  | 0,42667  | 0,32583  | 0,39133  | 0,34717           |  |

Parameter ini merupakan konstanta batas toleransi kesalahan peramalan. Jika nilai yang dimiliki semakin besar, maka model peramalan akan tidak memberikan toleransi kesalahan peramalan. Hal tersebut berarti hasil peramalan yang diberikan baik dan hal tersebut berlaku pula sebaliknya (Furi, et al., 2015). Pernyataan ini terbukti pada hasil pengujian dalam Tabel 6.4 dimana nilai  $C$  dimulai dari 5 hingga 500 memiliki nilai *error rate* terkecil yakni 0,34717. Gambar 6.4 menunjukkan rerata *error rate* menurun drastis ketika nilai  $C = 0,5$  lalu konstan saat nilai parameter  $C = 5$  hingga  $C = 500$ .



**Gambar 6.4 Grafik Rerata *Error Rate* Pengujian Nilai C**

## BAB 7 PENUTUP

Bagian ini memuat kesimpulan dan saran terhadap skripsi. Kesimpulan dan saran disajikan secara terpisah, dengan penjelasan sebagai berikut:

### 7.1 Kesimpulan

Kesimpulan yang dapat diambil dari proses perancangan, implementasi, dan pengujian adalah:

1. Sebelum mengimplementasikan metode SVR untuk memprediksi beban pemanasan dan beban pendinginan bangunan, hal yang pertama dilakukan adalah menentukan susunan data yang nantinya akan dibagi menjadi 2 kelompok data yakni data latih dan data uji. Selanjutnya masing-masing kelompok data tersebut dinormalisasi menggunakan metode *min-max normalization*. Kemudian dilakukan perhitungan *kernel* dan matriks *hessian* untuk mendapatkan nilai parameter *gamma*. Selanjutnya dilakukan proses perhitungan *sequential learning* untuk mendapatkan nilai peramalan beban panas dan dingin bangunan. Terakhir, untuk mengetahui nilai evaluasi sistem prediksi beban panas dan dingin bangunan digunakanlah persamaan MAPE.
2. Dalam mengukur *error rate* dari sistem ini digunakan nilai evaluasi hasil rerata nilai kesalahan pada tiap pengujian. Berdasarkan pengujian yang telah dilakukan, nilai *error rate* terkecil didapatkan sebesar 0,34492. Nilai tersebut didapatkan menggunakan nilai parameter  $cLR = 3 * 10^{-1}$ ,  $C = 500$ ,  $\lambda = 1$ ,  $\varepsilon = 1 * 10^{-3}$ ,  $\sigma = 2$ , Iterasi maksimal = 100000, jumlah data latih = 100 data bangunan, dan jumlah data uji = 30 data bangunan. Nilai MAPE yang dihasilkan sistem prediksi ini tergolong bagus dikarenakan besar nilainya 0,34492.

### 7.2 Saran

Saran yang dapat digunakan untuk penelitian selanjutnya terkait objek dan metode pada penelitian ini adalah sebagai berikut:

1. Dapat ditambahkan metode selain SVR dan/atau metode optimasi untuk perhitungan beban pemanasan dan beban pendinginan. Metode selain SVR diperlukan mengingat penelitian ini masih dapat dikembangkan lebih jauh lagi. Sedangkan metode optimasi diperlukan mengingat nilai-nilai pada parameter SVR ini rentan terjebak nilai *local optimum*, maka dengan adanya optimasi diharapkan kekurangan ini dapat ditutupi.
2. Menggunakan *set* lokasi wilayah atau kota di Indonesia dalam menghitung beban pemanasan dan beban pendinginan dalam menggunakan *dataset* yang sama dengan penelitian ini.

## DAFTAR PUSTAKA

- Abe, S., 2005. *Support Vector Machine for Pattern Classification*. London: Springer-Verlag.
- Al-Homoud, M. S., 2000. *Computer-aided Building Energy Analysis Techniques*, s.l.: Elsevier.
- Alwee, R., Shamsuddin, S. M. & Sallehuddin, R., 2013. *Hybrid Support Vector Regression and Autoregressive Integrated Moving Average Models Improved by Particle Swarm Optimization for Property Crime Rates Forecasting with Economic Indicators*, Skudai: Hindawi.
- Amanda, R., Yasin, H. & Prahatama, A., 2014. *Analisis Support Vector Regression (SVR) dalam Memprediksi Kurs Rpiah Terhadap Dollar Amerika Serikat*, Semarang: Perpustakaan UNDIP.
- American Society of Heating, Refrigerating and Air-Conditioning Engineers, 1997. *Ashrae Handbook Fundamentals*. I.S.ed penyunt. Atlanta: Amer Society of Heating.
- Chou, J.-S. & Bui, D.-K., 2014. *Modeling Heating and Cooling Loads by Artificial Intelligence for Energy-efficient Building Design*, s.l.: Elsevier.
- Faihah, R. T., 2010. *Makalah Data Mining Support Vector Machine (SVM)*, s.l.: Universitas Trunojoyo.
- Furi, R. P., J. & Saepudin, D., 2015. *Prediksi Financial Time Series Menggunakan Independent Component Analysis dan Support Vector Regression Studi Kasus : IHSG dan JII*, Bandung: s.n.
- Kim, S. E. & Seo, I. W., 2015. *Artificial Neural Network Ensemble Modeling with Conjunctive Data Clustering for Water Quality Prediction in Rivers*, s.l.: Elsevier.
- Patro, S. K. & Sahu, K. K., 2015. *Normalization: A Preprocesing Stage*, s.l.: arxiv.
- Ridwan, M. K., 2010. Perhitungan Beban Pendinginan. Dalam: *Handout Fisika Bangunan*. Yogyakarta: Jurusan Fisika, FT-UGM, pp. 64-76.
- Santosa, B., 2007. *Data Mining Teknik Pemanfaatan data untuk keperluan bisnis*. Yogyakarta: Graha Ilmu.
- Smola, A. J. & Scholkopf, B., 2004. A Tutorial on Support Vector Regression. *Statistic and Computing*, Issue 14, pp. 199-222.
- Soebroto, A. A. et al., 2015. *Prediksi Tinggi Muka Air (TVM) untuk Deteksi Dini Bencana Banjir menggunakan SVR-TVIWPSO*, Malang: Jurnal Teknologi Informasi dan Teknik Komputer.
- Tonde, C. & Elgammal, A., 2014. *Simultaneous Twin Kernel Learning using Polynomial Transformation for Structured Prediction*, New Jersey: IEEE.



Tsanas, A. & Xifara, A., 2012. *Accurate Quantitative Estimation of Energy Performance of Residential Building using Statistical Machine Learning Tools*, s.l.: Elsevier.

Vijayakumar, S. & Wu, S., 1999. *Sequential Support Vector Classiers and Regression*. Genoa, Italy, Saitama: RIKEN Brain Science Institute, The Institute for Physical and Chemical Research, pp. 610-619.



## LAMPIRAN A DATA BANGUNAN

**Lampiran 1 Data Bangunan Hasil Sintesis menggunakan program Ecotect**

| No. | RC   | SA  | WA  | HL | CL |
|-----|------|-----|-----|----|----|
| 1   | 0,9  | 750 | 400 | 35 | 40 |
| 2   | 0,65 | 560 | 300 | 7  | 11 |
| 3   | 0,76 | 600 | 315 | 8  | 13 |
| 4   | 0,85 | 700 | 375 | 28 | 33 |
| 5   | 0,8  | 650 | 350 | 14 | 25 |
| 6   | 0,91 | 779 | 336 | 22 | 16 |
| 7   | 0,69 | 523 | 304 | 32 | 31 |
| 8   | 0,64 | 618 | 383 | 22 | 32 |
| 9   | 0,91 | 522 | 335 | 26 | 42 |
| 10  | 0,78 | 757 | 312 | 13 | 13 |
| 11  | 0,71 | 783 | 337 | 31 | 38 |
| 12  | 0,97 | 766 | 259 | 13 | 39 |
| 13  | 0,7  | 757 | 318 | 12 | 31 |
| 14  | 0,65 | 763 | 289 | 14 | 27 |
| 15  | 0,77 | 673 | 251 | 8  | 45 |
| 16  | 0,86 | 586 | 413 | 42 | 48 |
| 17  | 0,69 | 676 | 325 | 29 | 26 |
| 18  | 0,75 | 755 | 272 | 30 | 22 |
| 19  | 0,65 | 649 | 275 | 18 | 14 |
| 20  | 0,8  | 538 | 340 | 14 | 42 |
| 21  | 0,85 | 797 | 264 | 31 | 14 |
| 22  | 0,78 | 593 | 394 | 22 | 21 |
| 23  | 0,85 | 730 | 413 | 33 | 14 |
| 24  | 0,96 | 675 | 285 | 17 | 35 |
| 25  | 0,77 | 782 | 265 | 12 | 44 |
| 26  | 0,81 | 629 | 375 | 31 | 47 |
| 27  | 0,93 | 613 | 317 | 36 | 40 |
| 28  | 0,78 | 629 | 406 | 34 | 16 |
| 29  | 0,84 | 554 | 402 | 19 | 12 |
| 30  | 0,7  | 663 | 380 | 40 | 20 |
| 31  | 0,65 | 587 | 375 | 13 | 27 |
| 32  | 0,94 | 602 | 253 | 28 | 23 |
| 33  | 0,75 | 538 | 256 | 16 | 12 |
| 34  | 0,95 | 736 | 396 | 34 | 27 |
| 35  | 0,98 | 762 | 401 | 23 | 25 |

| No. | RC   | SA  | WA  | HL | CL |
|-----|------|-----|-----|----|----|
| 66  | 0,66 | 608 | 282 | 21 | 43 |
| 67  | 0,62 | 528 | 281 | 16 | 48 |
| 68  | 0,62 | 721 | 393 | 11 | 48 |
| 69  | 0,74 | 800 | 339 | 13 | 37 |
| 70  | 0,86 | 711 | 286 | 26 | 44 |
| 71  | 0,68 | 641 | 380 | 37 | 28 |
| 72  | 0,82 | 579 | 326 | 21 | 25 |
| 73  | 0,95 | 690 | 353 | 36 | 39 |
| 74  | 0,98 | 616 | 317 | 29 | 12 |
| 75  | 0,67 | 678 | 277 | 9  | 25 |
| 76  | 0,72 | 645 | 255 | 27 | 12 |
| 77  | 0,7  | 547 | 392 | 41 | 40 |
| 78  | 0,96 | 793 | 410 | 41 | 12 |
| 79  | 0,65 | 604 | 304 | 8  | 15 |
| 80  | 0,69 | 685 | 411 | 25 | 25 |
| 81  | 0,66 | 737 | 314 | 17 | 36 |
| 82  | 0,9  | 637 | 291 | 42 | 36 |
| 83  | 0,85 | 614 | 332 | 26 | 47 |
| 84  | 0,91 | 645 | 363 | 39 | 12 |
| 85  | 0,79 | 540 | 390 | 17 | 15 |
| 86  | 0,91 | 526 | 257 | 10 | 28 |
| 87  | 0,86 | 518 | 345 | 35 | 18 |
| 88  | 0,84 | 566 | 383 | 18 | 28 |
| 89  | 0,94 | 660 | 275 | 23 | 18 |
| 90  | 0,63 | 532 | 260 | 28 | 28 |
| 91  | 0,68 | 605 | 249 | 27 | 15 |
| 92  | 0,87 | 606 | 405 | 19 | 38 |
| 93  | 0,66 | 807 | 413 | 8  | 30 |
| 94  | 0,62 | 690 | 344 | 40 | 45 |
| 95  | 0,83 | 631 | 397 | 34 | 35 |
| 96  | 0,66 | 767 | 368 | 16 | 25 |
| 97  | 0,86 | 638 | 286 | 28 | 31 |
| 98  | 0,75 | 771 | 325 | 42 | 34 |
| 99  | 0,89 | 765 | 298 | 11 | 27 |
| 100 | 0,82 | 666 | 278 | 26 | 44 |

|    |      |     |     |    |    |
|----|------|-----|-----|----|----|
| 36 | 0,77 | 770 | 247 | 25 | 30 |
| 37 | 0,92 | 596 | 251 | 32 | 26 |
| 38 | 0,76 | 654 | 358 | 37 | 33 |
| 39 | 0,66 | 671 | 299 | 7  | 38 |
| 40 | 0,82 | 675 | 333 | 36 | 26 |
| 41 | 0,62 | 531 | 357 | 26 | 19 |
| 42 | 0,29 | 590 | 272 | 36 | 16 |
| 43 | 0,82 | 559 | 262 | 18 | 29 |
| 44 | 0,8  | 645 | 388 | 27 | 42 |
| 45 | 0,74 | 671 | 361 | 8  | 39 |
| 46 | 0,97 | 663 | 316 | 37 | 16 |
| 47 | 0,96 | 581 | 269 | 13 | 14 |
| 48 | 0,64 | 687 | 356 | 23 | 11 |
| 49 | 0,94 | 643 | 291 | 33 | 25 |
| 50 | 0,84 | 704 | 280 | 32 | 43 |
| 51 | 0,62 | 642 | 339 | 37 | 31 |
| 52 | 0,92 | 610 | 396 | 25 | 41 |
| 53 | 0,94 | 618 | 327 | 20 | 17 |
| 54 | 0,86 | 639 | 315 | 27 | 29 |
| 55 | 0,7  | 728 | 318 | 17 | 32 |
| 56 | 0,92 | 580 | 252 | 30 | 15 |
| 57 | 0,82 | 592 | 316 | 34 | 14 |
| 58 | 0,63 | 680 | 388 | 40 | 40 |
| 59 | 0,91 | 565 | 291 | 26 | 42 |
| 60 | 0,7  | 762 | 281 | 27 | 25 |
| 61 | 0,72 | 700 | 290 | 17 | 31 |
| 62 | 0,98 | 732 | 370 | 27 | 27 |
| 63 | 0,9  | 733 | 265 | 14 | 17 |
| 64 | 0,73 | 620 | 311 | 27 | 28 |
| 65 | 0,85 | 564 | 323 | 35 | 36 |

|     |      |     |     |    |    |
|-----|------|-----|-----|----|----|
| 101 | 0,87 | 666 | 362 | 33 | 33 |
| 102 | 0,75 | 528 | 254 | 14 | 46 |
| 103 | 0,87 | 526 | 269 | 27 | 30 |
| 104 | 0,63 | 752 | 248 | 17 | 35 |
| 105 | 0,63 | 788 | 260 | 43 | 15 |
| 106 | 0,76 | 540 | 377 | 37 | 36 |
| 107 | 0,71 | 578 | 250 | 22 | 14 |
| 108 | 0,93 | 657 | 406 | 14 | 18 |
| 109 | 0,67 | 593 | 247 | 43 | 40 |
| 110 | 0,73 | 600 | 383 | 43 | 31 |
| 111 | 0,89 | 664 | 408 | 26 | 26 |
| 112 | 0,86 | 765 | 275 | 31 | 12 |
| 113 | 0,97 | 742 | 272 | 23 | 43 |
| 114 | 0,8  | 783 | 266 | 29 | 11 |
| 115 | 0,69 | 731 | 273 | 26 | 24 |
| 116 | 0,74 | 748 | 296 | 38 | 24 |
| 117 | 0,85 | 799 | 249 | 30 | 21 |
| 118 | 0,71 | 798 | 289 | 20 | 27 |
| 119 | 0,73 | 588 | 337 | 24 | 14 |
| 120 | 0,95 | 780 | 310 | 20 | 19 |
| 121 | 0,71 | 562 | 369 | 32 | 44 |
| 122 | 0,73 | 755 | 267 | 43 | 34 |
| 123 | 0,79 | 766 | 341 | 31 | 44 |
| 124 | 0,77 | 788 | 349 | 16 | 38 |
| 125 | 0,7  | 577 | 250 | 34 | 31 |
| 126 | 0,65 | 734 | 246 | 31 | 24 |
| 127 | 0,81 | 605 | 287 | 8  | 36 |
| 128 | 0,88 | 573 | 297 | 39 | 11 |
| 129 | 0,65 | 800 | 393 | 40 | 26 |
| 130 | 0,92 | 742 | 265 | 11 | 22 |

Dengan keterangan:

RC = *Relative Compactness*

SA = *Surface Area* (Luas permukaan bangunan)

WA = *Wall Area* (Luas dinding)

HL = *Heating Load* (beban pemanasan)

CL = *Cooling Load* (beban pendinginan)